



OFICINA ESPAÑOLA DE PATENTES Y MARCAS

**ESPAÑA** 

 $\bigcirc\hspace{-0.07in}$  Número de publicación: 2~359~826

(51) Int. Cl.:

C12N 15/85 (2006.01)

(12)	TRADUCCIÓN DE PATENTE EUROPEA

Т3

- 96 Número de solicitud europea: **07803195 .2**
- 96 Fecha de presentación : **04.09.2007**
- 97 Número de publicación de la solicitud: 2066794 97 Fecha de publicación de la solicitud: 10.06.2009
- 🗿 Título: Modelo animal para la selección y validación de agentes activos contra el enfisema pulmonar y el cáncer colorrectal.
- (30) Prioridad: **15.09.2006 EP 06120714**
- 73 Titular/es: FRANKGEN BIOTECHNOLOGIE AG. Wilhelm-Bonn-Strasse 8F 61476 Kronberg/Taunus, DE
- (45) Fecha de publicación de la mención BOPI: 27.05.2011
- (72) Inventor/es: Melchner, Harald Von; Wempe, Frank y De-Zolt, Silke
- (45) Fecha de la publicación del folleto de la patente: 27.05.2011
- (74) Agente: Carpintero López, Mario

ES 2 359 826 T3

Aviso: En el plazo de nueve meses a contar desde la fecha de publicación en el Boletín europeo de patentes, de la mención de concesión de la patente europea, cualquier persona podrá oponerse ante la Oficina Europea de Patentes a la patente concedida. La oposición deberá formularse por escrito y estar motivada; sólo se considerará como formulada una vez que se haya realizado el pago de la tasa de oposición (art. 99.1 del Convenio sobre concesión de Patentes Europeas).

## **DESCRIPCIÓN**

Modelo animal para la selección y validación de agentes activos contra el enfisema pulmonar y el cáncer colorrectal

La presente invención se refiere a un modelo animal de roedor, a cultivos celulares y tisulares obtenidos del mismo, que no producen o que producen sólo niveles subóptimos de una o más sestrinas funcionales y que, además, no producen o producen sólo niveles subóptimos de proteína de unión al factor de crecimiento transformante  $\beta$  latente 4 (ltbp4). Además, la presente invención se refiere a un procedimiento para seleccionar agentes para tratar el enfisema pulmonar y/o el cáncer colorrectal mostrado utilizando el modelo animal, cultivo celular o tisular de la invención. El modelo animal de roedor, cultivo celular o tisular es adecuado para el ensayo preclínico de la eficacia, toxicidad y biodisponibilidad de agentes potenciales.

## Antecedentes de la invención

10

15

20

25

30

35

40

45

50

55

La enfermedad pulmonar obstructiva crónica con enfisema pulmonar (EPOC) es una enfermedad altamente prevalente que tiene un gran impacto sobre la calidad de vida de los pacientes y sus familias y que mata a millones de personas en todo el mundo. Aunque el factor de riesgo principal para la EPOC es la inhalación de partículas y gases tóxicos que se generan principalmente, pero no exclusivamente, en el humo del tabaco, también están implicadas anomalías primarias (genéticas) de las vías respiratorias, ya que sólo una fracción de los fumadores desarrollan EPOC. La EPOC está asociada con costes muy importantes de atención sanitaria, en gran parte debido a tratamientos costosos tales como la terapia con oxígeno a largo plazo y las admisiones hospitalarias, así como costes indirectos incluyendo la pérdida de capacidad laboral. Además, el tratamiento de la EPOC se limita a los síntomas, ya que no se ha demostrado hasta ahora que ninguna intervención farmacológica modifique la historia natural de la enfermedad (Vestbo J. y Hogg, J. C. Thorax. 61: 86-8, 2006; Fabbri L. M., y col. Am J Respir Crit Care Med. 173: 1056-65, 2006).

El cáncer colorrectal es una de las neoplasias más comunes en el hemisferio Occidental y representa un desafío de salud pública muy importante a pesar de los progresos en la detección y la terapia. La mortalidad total a los 5 años es de aproximadamente el 40%. Aunque la enfermedad en fase temprana puede curarse mediante cirugía, sólo está disponible un tratamiento paliativo para pacientes con cáncer metastásico no resecable cuya tasa de supervivencia está entre 7-24 meses (Shaheen N. J., y col. Am J Gastroenterol. 2006).

De lo anterior se hace evidente que son altamente deseables nuevos compuestos farmacéuticos para el tratamiento de ambas afecciones y que podrían identificarse con el modelo animal de la invención, que muestra tanto enfisema pulmonar como cáncer colorrectal como resultado de mutaciones de pérdida de función en los genes de sestrina 2 y proteína de unión a factor de crecimiento transformante beta latente 4.

Los factores de crecimiento transformante β (TGF-β) pertenecen a una superfamilia de proteínas cuyos miembros controlan el crecimiento y la diferenciación celular en una diversidad de tejidos adultos y están implicados en una amplia variedad de respuestas inflamatorias e inmunes (Shi Y. y Massague, J. Cell. 113: 685-700, 2003; Sheppard D. Proc Am Thorac Soc. 3: 413-7, 2006). La mayoría de las células secretan TGF-β como una citocina latente funcionalmente inactiva, que forma un complejo con su propéptido asociado a latencia (LAP), que interacciona con sus receptores sólo después de su activación por escisión proteolítica. Hay dos complejos latentes estructuralmente diferentes conocidos de TGF-β. El complejo latente pequeño consiste en un dímero de TGF-β maduro unido a la parte N-terminal del propéptido TGF-β-LAP. El complejo latente grande contiene, además de TGF-β-LAP, una de las tres proteínas de unión a TGF-β latentes (ltbp 1, 3 y 4). A menos que se desplace de las ltbp después de la secreción, el TGF-β se deposita habitualmente en la matriz extracelular (MEC) como un complejo de alto peso molecular con Itbp y LAP (Annes J. P., y col. J Cell Sci. 116: 217-24, 2003). Las 4 isoformas existentes de Itbp (Itbp 1-4) se han inactivado por mutación en el ratón (Dabovic B., y col. J Cell Biol. 56: 227-232, 2002; Sterner-Kock A., y col. Genes Dev. 16: 2264-2273, 2002; Shipley J. M., y col. Mol Cell Biol. 20: 4879-87, 2000). Aunque los fenotipos de los ratones knock out variaban entre isoformas, tanto los mutantes ltbp3 como ltbp4 desarrollan enfisema pulmonar debido a defectos en la señalización de TGF-β. Sin embargo, al contrario que los ratones ltbp3 mutantes que desarrollan enfisema, que es relativamente leve y estrictamente evolutivo (Dabovic B., y col. J Cell Biol. 56: 227-232, 2002), los enfisemas en los ratones ltbp4 (*ltbp4*) mutantes empeoran con la edad y progresivamente adquieren las características de los enfisemas de inicio tardío que se desarrollan en el contexto de la EPOC en seres humanos (Sterner-Kock A., y col. Genes Dev. 16: 2264-2273, 2002; WO 03/015505). La relevancia potencial de Itbp4 en la patogénesis de la EPOC se ha subrayado recientemente por un estudio clínico que describe una correlación altamente significativa entre síntomas de EPOC específicos y un polimorfismo de un solo nucleótido (SNP) en Itbp4 (Hersh C. P., y col. Am J Respir Crit Care Med. 173: 977-84, 2006). Además del enfisema, los ratones Itbp4 mutantes desarrollan cáncer colorrectal invasivo (Sterner-Kock A., y col. Genes Dev. 16: 2264-2273, 2002; documento WO 03/015505). También se ha descrito recientemente una relación entre la expresión de Itbp4 y la progresión del cáncer en un estudio clínico de pacientes con cáncer colorrectal (Bertucci F., y col. Oncogene. 23: 1377-91, 2004).

La sestrina 2 pertenece a una familia de proteínas altamente conservadas descubiertas inicialmente como proteínas inducibles por p53 (Velasco-Miguel S., y col. Oncogene. 18: 127-37, 1999; Peeters H., y col. Hum Genet. 112: 573-80, 2003; Budanov A. V., y col. Oncogene. 21: 6017-31, 2002; documentos WO 00/12525; US 2002/0103353). Las

células de mamífero expresan tres isoformas denominadas sestrina 1 (sestrina 1; también conocida como PA26), sestrina 2 (sestrina 2; también conocida como Hi95) y sestrina 3 (Figura 1). Se ha demostrado recientemente que dos de las sestrinas (sestrina 1 y sestrina 2) regulan los niveles de peróxido intracelular (ROS) (Budanov A. V., y col. Science. 304: 596-600, 2004; Sablina A. A., y col. Nat Med. 11: 1306-13, 2005). Más específicamente, se cree que las sestrinas regeneran (reducen) las peroxirredoxinas (Prx), que son proteínas antioxidantes altamente conservadas y expresadas ubicuamente (revisado en Georgiou G. y Masip, L. Science. 300: 592-4, 2003; Wood Z. A., y col. Trends Biochem Sci. 28: 32-40, 2003). Al reducir el H<sub>2</sub>O<sub>2</sub> a H<sub>2</sub>O, las Prx se oxidan en su denominada cisteína peroxidática (Cys-SH), que se convierte en ácido sulfénico (Cys-SOH) (Figura 2). En bacterias, cuando la Prx AhpC es la secuestrante primaria de H<sub>2</sub>O<sub>2</sub>, la AhpC oxidada se reduce posteriormente por la reductasa especializada AhpF. Sin embargo, a diferencia de AhpC, las Prx de mamífero son altamente susceptibles a la sobreoxidación produciendo ácido sulfínico (Cys-SO<sub>2</sub>H) en presencia de altas concentraciones de peróxido (Figura 2). Los ácidos sulfínicos de proteínas no pueden reducirse por reductores celulares típicos tales como glutatión y tiorredoxina y, por lo tanto, su formación se ha considerado un proceso irreversible. Una vez que la Prx se ha convertido en ácido sulfínico ya no es enzimáticamente activa, y la enzima inactiva se acumula en las células expuestas a estrés oxidativo (Wood Z. A., y col. Trends Biochem Sci. 28: 32-40, 2003). Sin embargo, más recientemente se ha observado una recuperación gradual de las Prx después de la inactivación oxidativa inicial en células eucariotas (Mitsumoto A., y col. Free Radic Biol Med. 30: 625-35, 2001; Woo H. A., y col. Science. 300: 653-6, 2003) y se ha propuesto a las sestrinas como las enzimas catalizantes debido a su homología con el homólogo de sestrina bacteriano - AhpD-, que regenera la AhpC Prx, y debido a su capacidad para reducir los niveles de ROS intracelulares (Budanov A. V., y col. Science. 304:596-600, 2004).

Se cree que en células eucariotas las Prx son tanto antioxidantes que protegen frente al estrés como reguladores de la señalización mediada por ROS (Wood Z. A., y col. Science. 300: 650-3, 2003). Se ha sabido durante algún tiempo que las interacciones de ligando/receptor generan explosiones de ROS, que actúan como segundos mensajeros en las rutas de transducción de señales, incluyendo la ruta de TGF-β (Bae Y. S., y col. J Biol Chem. 272: 217-21, 1997; Lo Y. Y. y Cruz, T. F. J Biol Chem. 270: 11727-30, 1995; Mills E. M., y col. J Biol Chem. 273: 22165-8, 1998; Sundaresan M., y col. Science. 270: 296-9, 1995; Thannickal V. J., y col. J Biol Chem. 273: 23611-5, 1998; Thannickal V. J., y col. Faseb J. 14: 1741-8, 2000). Se ha demostrado que una señalización de TGF-β defectuosa está implicada en la patología del enfisema pulmonar y del cáncer colorrectal tanto en modelos animales (incluyendo el documento WO 03/015505 A3) como en humanos (Morris D. G., y col. Nature. 422: 169-73, 2003; Neptune E. R., y col. Nat Genet. 33: 407-11, 2003; Sterner-Kock A., y col. Genes Dev. 16: 2264-2273, 2002; Massague J., y col. Cell. 103: 295-309, 2000; Zhu Y., y col. Cell. 94: 703-14, 1998).

La asociación entre ROS y TGF-β es compleja y se produce a diferentes niveles de la cascada de señalización. En primer lugar, se ha demostrado que ROS activa el TGF-β1 latente tanto in vitro como in vivo (Annes J. P., y col. J Cell Sci. 116: 217-24, 2003; Barcellos-Hoff M. H. y Dix, T. A. Mol Endocrinol. 10: 1077-83, 1996). En línea con esto, Fatma y col. han descrito recientemente que células epiteliales lenticulares obtenidas de ratones knock out para Prx6 son altamente susceptibles al estrés oxidativo y desarrollan un fenotipo indistinguible de la estimulación por TGF-β. Los inventores podían atribuir este fenotipo a una activación mediada por ROS de TGF-β latente que era fácilmente reversible por antioxidantes (Fatma N., y col. Cell Death Differ. 12: 734-50, 2005). En segundo lugar, el TGF-β requiere de ROS para la inducción de diversos genes diana tales como PAI-1, CTGF y genes de la matriz extracelular (Jiang Z., y col. Biochem Biophys Res Commun. 309: 961-6, 2003; Park S. K., y col. Biochem Biophys Res Commun. 284: 966-71, 2001). Estudios recientes han demostrado que la fosforilación de smad2,3 inducida por TGF-β también es parcialmente dependiente de ROS (Cucoranu I., y col. Circ Res. 97: 900-7, 2005), presumiblemente mediante la inactivación de una fosfatasa especializada. Se ha sabido durante algún tiempo que las fosfatasas son susceptibles a la inactivación por ROS (Seo J. H., y col. Mol Biol Cell. 16:348-57, 2005; Chiarugi P. y Cirri, P. Trends Biochem Sci. 28:509-14, 2003) y se ha descubierto recientemente una fosfatasa smad2,3 (PPM1A) capaz de terminar la señalización de TGF-β (Lin X., y col. Cell. 125: 915-28, 2006. Third, TGF-β itself induces superoxide production by activating NADPH oxidases presumably by the transcriptional upregulation of Nox4 (Sturrock A., y col. Am J Physiol Lung Cell Mol Physiol. 290: L661-L673, 2006).

## Descripción de la invención

10

15

20

25

30

35

40

45

60

Se ha descubierto ahora que la ablación genética de una sestrina, en particular la sestrina 2, del modelo animal (modelo de ratón *ltbp4*<sup>-/-</sup>) descrito en el documento WO 03/015505 daba como resultado una recuperación significativa de las patologías (véanse los ejemplos), indicando que esta familia de proteínas podría proporcionar dianas moleculares para el tratamiento de la EPOC y del cáncer colorrectal. Se cree que la ablación de la sestrina 2 en el modelo animal del documento WO 03/015505 reactivaba la señalización de TGF-β, presumiblemente por aumento de los niveles de segundos mensajeros intracelulares ROS. Esto a su vez mejoró significativamente ambas patologías como se ilustra por los ejemplos, sugiriendo que el enfisema pulmonar y el cáncer colorrectal pueden tratarse por antagonismo de la función de la sestrina. La presente invención se refiere por lo tanto a

(1) un modelo animal de roedor, que no produce una o más sestrinas funcionales, o que produce niveles de traducción reducidos al menos el 50% de una o más sestrinas, preferentemente la sestrina 2, y además no produce proteína de unión al factor de crecimiento transformante  $\beta$  latente 4 (en lo sucesivo "ltbp4") o produce niveles de traducción reducidos al menos el 50% de ltbp4;

- (2) un modelo animal de roedor, que no expresa una o más sestrinas funcionales, o que expresa niveles de traducción reducidos al menos el 50% de una o más sestrinas;
- (3) un cultivo celular o tisular aislado de los modelos animales de roedor que se han definido en (1) o (2) anteriormente, en el que los niveles de expresión en la célula o en las células del tejido de las proteínas sestrina y ltbp4 son como se han definido en (1) o (2);
- (4) un procedimiento para preparar el modelo animal de roedor de (1) anterior, que comprende alterar el gen de sestrina y/o ltbp4 en una célula germinal de un animal roedor de partida;
- (5) un procedimiento para seleccionar un agente para tratar un síntoma que aparece en el modelo animal de roedor del (1) anterior, que comprende:
  - (i) aplicar uno o más agentes a ensayar ha dicho modelo animal de roedor,
  - (ii) determinar si uno o más síntomas que aparecen en dicho modelo animal de roedor han cambiado como resultado de la aplicación de dicho agente o agentes;
- (6) un procedimiento para seleccionar un agente que interfiera con la producción de ROS y la señalización de TGF-β, que comprende:
  - (i) aplicar uno o más agentes a ensayar al cultivo celular o tisular de (3) anterior,
  - (ii) determinar si los niveles de ROS celulares y la señalización de TGF-β han cambiado como resultado de la aplicación de dicho agente o agentes;
- (7) un procedimiento para analizar si el cáncer y/o enfisema pulmonar está causado por una expresión proteica o génica de ltbp4 y sestrina o un nivel de expresión diferencial o por un defecto en el gen de ltbp4 y sestrina, que comprende:
  - (i) caracterizar la expresión proteica o génica de ltbp4 y sestrina o el nivel de expresión o el estado alélico del gen de ltbp4 y sestrina de un individuo que tiene cáncer o enfisema pulmonar,
  - (ii) caracterizar la expresión proteica o génica de ltbp4 y sestrina o el nivel de expresión o el estado alélico del gen de ltbp4 y sestrina de un individuo de control, indicando una diferencia en la expresión proteica o génica de ltbp4 y sestrina o el nivel de expresión o el estado alélico del gen de ltbp4 y sestrina que el cáncer y/o el enfisema pulmonar y/o la cardiomiopatía está relacionada con una expresión proteica o génica de ltbp4 y sestrina o un nivel de expresión diferencial o por un defecto en los genes de ltbp4 y sestrina;

En conclusión, la presente invención proporciona un modelo animal de roedor de enfermedad humana que pone de manifiesto algunas funciones cruciales de las proteínas sestrinas. A la vista de estas funciones, el modelo animal de roedor de la invención puede usarse para desarrollar nuevos tratamientos para el enfisema pulmonar y el cáncer que se dirijan a proteínas sestrinas y a su papel en el metabolismo de ROS y en la señalización de TGF-β.

#### Descripción de las figuras

5

10

15

20

25

30

- <u>Figura 1:</u> Secuencia de aminoácidos de las sestrinas de ratón y homología entre isoformas. Las secuencias de las isoformas se muestra adicionalmente en las SEC ID Nº: 1 a 3.
- Figura 2: Oxidación de la cisteína peroxidática de peroxirredoxinas (Prx) por superóxidos. Las Prx reducidas forman dímeros mediante un enlace disulfuro (1). Las Prx oxidadas forman ácido sulfénico (2), que se reduce por tiorredoxina o glutatión en una reacción inversa (1). Las Prx sobreoxidadas forman ácido sulfínico, que no puede reducirse por tiorredoxina o glutatión (3). Se cree que las sestrinas regeneran las Prx sobreoxidadas. Para una explicación adicional véase el texto.
- 40 <u>Figura 3:</u> Inserción de trampa de genes pT1βgeo en el último intrón del gen de sestrina 2 (Ensembl Id: *ENSMUSG00000028893*) y posición de los cebadores específicos de alelo (flechas). La proteína de fusión resultante carece de 27 aminoácidos de la sestrina 2.
  - Figura 4: Montaje completo de embrión E7.5 teñido con X-Gal.
- Figura 5: Análisis de la expresión génica de sestrina 2 en ratones mutantes W077E04. A. qRT-PCR del ARN total extraído de pulmones de ratones tipo silvestre (WT), heterocigotos (+/-) y homocigotos (-/-). B. Análisis de transferencia de Western de la expresión de proteína sestrina 2 en fibroblastos aislados de colon (carriles 1, 2) y pulmón (carriles 3, 4) de ratón usando anticuerpos policlonal anti-sestrina 2 de ratón (PTG Inc., Chicago, IL) y antitubulina. Las bandas minoritarias que reaccionan con el anticuerpo policlonal anti-sestrina 2 son muy probablemente inespecíficas.
- 50 Figura 6: Moldes de silicona traqueobronquiales de ratones de tipo silvestre de 5,5 meses de edad, simples

mutantes ltbp4 y dobles mutantes ltbp4/sesn2.

- <u>Figura 7:</u> Enfisema pulmonar de ratones simples mutantes *ltbp4* y dobles mutantes *ltbp4/sesn2* de la misma edad. Tinción con HE a 40x aumentos.
- <u>Figura 8:</u> Contenido de elastina y colágeno en pulmones de simples mutantes *ltbp4* y dobles mutantes *ltbp4*/sesn2.
   A. Elastina (negro) teñida con resorcina-fucsina de Weigert a 200x aumentos. B. Colágeno (azul) teñido con tinción tricrómica de Masson a 200x aumentos.
  - Figura 9: Molde de silicona traqueobronquial de un pulmón *ltbp4*<sup>-/-</sup> heterocigoto para alelos nulos de sesn2.
  - <u>Figura 10:</u> Deposición de colágeno en pulmones mutantes *Itbp4* heterocigotos ( $sesn^{+/-}$ ) y homocigotos ( $sesn^{-/-}$ ) para el alelo nulo de sesn2. Colágeno (azul) teñido con tinción tricrómica de Masson a 200x aumentos.
- 10 <u>Figura 11:</u> Adenoma colorrectal en ratones simples mutantes (*Itbp4*<sup>-/-</sup>) y dobles mutantes (*Itbp4*<sup>-/-</sup>) de la misma edad.
  - <u>Figura 12:</u> Niveles de P-smad2 en el colon de ratones simples mutantes ( $ltbp4^{-/-}$ ) y dobles mutantes ( $ltbp4^{-/-}$ ) sesn2 $^{-/-}$ ) de la misma edad. Las células positivas son de color marrón rojizo.
- Figura 13: Niveles de P-smad2 en pulmones mutantes sesn2. Se tiñeron secciones pulmonares con anticuerpo policional anti-P-smad2. Las células positivas eran de color marrón rojizo.
  - <u>Figura 14:</u> Deposición de tejido conectivo aumentada en pulmones mutantes *sesn2*. Tinción con HE a 200x (parte superior) y 400x (parte inferior) aumentos.
- Figura 15: Niveles de ROS en MLF. A. Cantidades de ROS inducidas por H<sub>2</sub>O<sub>2</sub> (200 μM, 3 horas) y basales mediats mediante FACS (530 nm) después del tratamiento con DCF. FL1-H, intensidad de fluorescencia. B. Cantidades de ROS inducidas por H<sub>2</sub>O<sub>2</sub> y basales que se acumulan en MLF expresadas como intensidad media de la fluorescencia celular ± DT de los dos experimentos independientes mostrados en A.

#### Descripción detallada de la invención

45

50

Los términos y abreviaturas particulares utilizadas para definir la presente invención se definen adicionalmente en lo siguiente.

- Las expresiones "no produce sestrinas funcionales" "no produce Itbp4 funcional" indican la ausencia de expresión eficaz de sestrina y Itbp4, respectivamente. Una "ausencia de expresión eficaz de sestrina y Itbp4" también incluye la expresión de proteínas sestrinas no funcionales (es decir, truncadas) y Itbp4 que no están ejerciendo la función de la proteína nativa.
- Las expresiones "produce niveles subóptimos de sestrinas" y "produce niveles subóptimos de Itbp4" abarcan el nivel de traducción de las proteínas sestrina y Itbp4, que es insuficiente para ejercer su función. Preferentemente, el nivel se reduce al menos el 50%, más preferentemente el 70% y, más preferentemente, el 100%.
  - La expresión "interrupción homocigota" se refiere a una mutación idéntica en ambos alelos de un gen.
  - La expresión "interrupción heterocigota" se refiere a una mutación en solo un alelo de un gen. El término "mutación" se refiere a un cambio de uno o más pares de nucleótidos de una molécula de ADN.
- El término "inserción" se refiere a una mutación identificada por la presencia de uno o más pares de bases adicionales en el ADN. El término "deleción" se refiere a una mutación generada por eliminación de una secuencia de ADN (uno o más pares de bases), uniéndose entre sí las regiones en cada lado. La expresión "mutación por sustitución" se refiere a un intercambio de nucleótido. La mutación por sustitución puede dar como resultado un cambio de aminoácido o puede introducir un codón de terminación de la traducción prematuro. Además, una mutación por sustitución puede afectar al corte y empalme o a la expresión del gen cuando se produce en sitios necesarios para el corte y empalme o la regulación génica.
  - La expresión "direccionamiento génico" se refiere a un tipo de recombinación homóloga que se produce cuando un fragmento de ADN genómico se introduce en una célula y ese fragmento se recombina con secuencias homólogas en el genoma. La expresión "integración de trampa de genes" se refiere a la inserción de un vector, que comprende un gen indicador y que se activa tras su inserción en una unidad de transcripción activa del genoma. El término "mutagénesis" indica un tratamiento químico o físico que cambia nucleótidos en el genoma de un organismo. Un ejemplo de una mutagénesis química es la mutagénesis por *N*-etil-*N*-nitrosurea (ENU).
  - El término "exón" incluye un segmento de un gen que está codificado para dar un producto de ARNm. Los exones individuales pueden contener ADN codificante de proteína y/o ADN no codificante. El término "intrón" indica ADN no codificante, que separa exones vecinos en un gen. Durante la expresión génica, tanto los intrones como los exones se transcriben en ARN pero las secuencias intrónicas transcritas se eliminan posteriormente por corte y empalme del

ARN y no están presentes en el ARNm. La expresión "región reguladora" se refiere a la secuencia de nucleótidos que comprende regiones que son necesarias para la regulación de la transcripción génica. Estas regiones comprenden, por ejemplo, promotores y potenciadores y pueden localizarse en regiones no traducidas 5', exones, intrones y UTR 3'. La expresión "sitio de corte y empalme" incluye los nucleótidos al comienzo y al final del intrón que son necesarios para la unión de dos exones por eliminación del intrón intercalado durante el procesamiento del transcrito primario a ARNm funcional.

La expresión "enfisema pulmonar" indica un síntoma de enfermedad pulmonar obstructiva crónica (EPOC) caracterizado por un aumento de tamaño más allá de lo normal de los espacios aéreos distales a los bronquiolos terminales y por infiltrados inflamatorios.

10 El término "cardiomiopatía" designa una enfermedad no inflamatoria primaria del músculo cardiaco que es el resultado de una hipertensión pulmonar que complica la EPOC. El término "cáncer" se refiere a una proliferación descontrolada de las células epiteliales que revisten las criptas colónicas.

El "metabolismo de ROS" se refiere a la producción y neutralización (reducción) de especies de oxígeno reactivo intracelulares tales como peróxido de hidrogeno y aniones de oxígeno. La expresión "cambios profibróticos" se refiere a una deposición tisular aumentada de colágeno asociada con una multiplicación de fibroblastos.

La expresión "selección de un agente para tratar un síntoma" incluye escoger una composición para el tratamiento de la afección.

La expresión "aplicación de uno o más agentes" se refiere a administrar compuestos individuales o combinaciones de compuestos por vía oral, por inhalación, por vía parenteral, por ejemplo, por vía intravenosa, subcutánea, intraperitoneal o intramuscular, o por vía tópica, por ejemplo, por vía oftálmica, vaginal, rectal o intranasal.

La invención se describe en lo sucesivo en más detalle por referencia a las Figuras y Ejemplos adjuntos.

15

20

25

30

35

50

En una realización preferida del aspecto (1) de la invención, el genoma del roedor comprende una interrupción homocigota de los genes sesn2 y ltbp4. Preferentemente, esta interrupción homocigota se ha generado por una mutación y esta mutación puede ser una mutación por inserción, deleción o sustitución. Además, preferentemente, dicha mutación se genera por direccionamiento génico, atrapamiento génico o mutagénesis química y se ha producido en un exón, intrón, región reguladora o sitio de corte y empalme del gen de sestrina 2, preferentemente en el último intrón (es decir, el 9º intrón) del gen de sestrina 2, y en un exón, intrón, región reguladora o sitio de corte y empalme del gen ltbp4, preferentemente el 5º intrón de ltbp4. También se prefiere que los sitios de mutación den origen a una expresión de un gen indicador detectable tal como proteínas fluorescentes (tales como GFP y sus derivados), enzimas (tales como LacZ) o marcadores de selección (tales como βgeo). Se prefiere particularmente que:

- (i) el gen de sestrina 2 se interrumpa en el  $9^{\circ}$  intrón por inserción de un vector de trampa de genes, preferentemente pT1 $\beta$ geo (SEC ID N°: 10); y/o
- (ii) el gen de ltbp4 se interrumpa en el 5º intrón por inserción de un vector de trampa de genes, preferentemente U3Cre (SEC ID №: 16).

En una realización preferida adicional, dicho roedor comprende una interrupción heterocigota del gen de sens2 y una interrupción homocigota del gen de ltbp4 o una interrupción homocigota del gen de sestrina 2 y una interrupción heterocigota del gen de ltbp4.

En otro aspecto de la invención, el modelo animal de roedor presenta enfisema pulmonar y/o cardiomiopatía y/o cáncer colorrectal. Además, el roedor es preferentemente un ratón o rata.

En una realización preferida adicional, el modelo animal de roedor presenta defectos en el metabolismo de ROS y/o cambios profibróticos en uno o más órganos principales, preferentemente en el pulmón o colon.

En una realización preferida adicional, el modelo animal de roedor desarrolla síntomas que son menos graves que los presentados por el modelo animal descrito en el documento WO 03/015505.

La realización (3) de la invención se refiere a un cultivo celular o tisular aislado de un modelo animal de roedor de (1) o (2). Preferentemente, la célula procede del pulmón o del colon.

En un aspecto preferido de esta realización, el cultivo celular o tisular se aísla de un modelo animal de roedor cuyo genoma comprende una interrupción homocigota de uno o más genes de sestrina, de modo que dichos genes no producen sestrinas funcionales, preferentemente sestrina 2, y una interrupción homocigota del gen de Itbp4, de modo que dicho gen no produce Itbp4 funcional.

En otro aspecto preferido de esta realización, el cultivo celular o tisular se aísla de un modelo animal de roedor cuyo genoma comprende una interrupción heterocigota de uno o más genes de sestrina, de modo que dichos genes producen sólo el 50% o menos de sestrinas funcionales, preferentemente sestrina 2, y una interrupción homocigota

del gen de ltbp4, de modo que dicho gen no produce ltbp4 funcional.

10

15

30

35

40

45

50

55

En otro aspecto preferido de esta realización, el cultivo celular o tisular se aísla de un modelo animal de roedor cuyo genoma comprende una interrupción homocigota de uno o más genes de sestrina, preferentemente sestrina 2, y una interrupción heterocigota de ltbp4, de modo que dicho gen produce sólo el 50% o menos de ltbp4 funcional. Se prefiere particularmente que el cultivo celular o tisular proceda del pulmón o del colon. La realización (4) de la invención se refiere a un procedimiento para preparar el modelo animal de roedor de las realizaciones (1) y (2), que comprende interrumpir el gen de sestrina y/o ltbp4 en una célula germinal de un animal no humano de partida. En un aspecto preferido de esta realización, la célula germinal es una célula ES. El procedimiento puede comprender además introducir las células ES resultantes en blastocistos, inyectar los blastocistos obtenidos en madres adoptivas de roedor respectivas y cruzar entre sí las quimeras resultantes.

La realización (5) de la invención se refiere a un procedimiento para seleccionar un agente o agentes para tratar un síntoma que aparece en el modelo animal de roedor de la invención, que comprende: (i) aplicar uno o más agentes a ensayar al modelo animal de la invención; y (ii) determinar si uno o más síntomas que aparecen en el modelo animal de roedor de la presente invención han cambiado como resultado de la aplicación de dicho agente o agentes. En una realización preferida, el síntoma se selecciona de un grupo que consiste en enfisema pulmonar, cardiomiopatía y cáncer. El agente, que es adecuado para tratar un síntoma que aparece en el modelo animal de roedor de la invención, puede ser un producto farmacéutico. El agente, que es adecuado para tratar un síntoma que aparece en el modelo animal de la invención, puede ser adecuado para la preparación de una composición farmacéutica para el tratamiento del enfisema pulmonar.

- 20 La realización (6) de la invención se refiere a un procedimiento para seleccionar un agente que interfiera con la producción de ROS y la señalización de TGF-β, que comprende:
  - (i) aplicar uno o más agentes a ensayar al cultivo celular o tisular del (3) anterior,
  - (ii) determinar si los niveles de ROS celulares y la señalización de TGF-β han cambiado como resultado de la aplicación de dicho agente o agentes.
- 25 Se prefiere particularmente en dicho procedimiento que el cultivo celular o tisular sea de pulmón o colon.

La realización (7) de la invención es un procedimiento para analizar si el enfisema pulmonar y/o cáncer esta causado por una expresión proteica o génica de ltbp4 y sestrina o un nivel de expresión diferencial o por un defecto en los genes de ltbp4 y sestrina, que comprende la (i) caracterización de la expresión proteica o génica de ltbp4 y sestrina o el nivel de expresión o el estado alélico del gen de ltbp4 y sestrina de un individuo que tiene enfisema pulmonar y/o cáncer, y la (ii) caracterización de la expresión proteica o génica de ltbp4 y sestrina o el nivel de expresión o el estado alélico del gen de ltbp4 y sestrina o el nivel de expresión o en el estado alélico del gen de ltbp4 y sestrina indica que un defecto en los genes de ltbp4 y sestrina está implicado en la patogénesis del enfisema pulmonar y/o del cáncer.

El procedimiento descrito en (7) puede usarse para diagnosticar el enfisema pulmonar o el cáncer, que comprende la (i) caracterización de la expresión proteica o génica de ltbp4 y sestrina o el nivel de expresión o el estado alélico del gen de ltbp4 y sestrina de un individuo, y la (ii) caracterización de la expresión proteica o génica de ltbp4 y sestrina o el nivel de expresión o el estado alélico del gen de ltbp4 y sestrina de un individuo de control. Una diferencia en la expresión proteica o génica de ltbp4 y sestrina o el nivel de expresión o en el estado alélico del gen de ltbp4 y sestrina indica la presencia de enfisema pulmonar y/o cáncer en dicho individuo. Entre los niveles de expresión determinados está el nivel de expresión de ltbp4, que es un indicador de la gravedad del enfisema pulmonar o del cáncer, mientras que el nivel de expresión de sestrina es un marcador para la progresión de la enfermedad, de modo que bajos niveles de expresión son beneficiosos para la progresión de la enfermedad.

El término "individuo" usado en relación con la realización (7) se refiere a un individuo con un estado alélico de gen de Itbp4 y sestrina anormal sospechoso, es decir, un paciente. La expresión "individuo de control" se refiere a un individuo sano que tiene un estado alélico de Itbp4 y sestrina normal.

En una realización preferida de los procedimientos para analizar si el enfisema pulmonar y/o el cáncer están relacionados con ltbp4 y sestrina, y para diagnosticar el enfisema pulmonar y el cáncer, el estado alélico del gen de ltbp4 y sestrina y la expresión o el nivel de expresión de ltbp4 y sestrina se detectan por PCR genómica, RT-PCR, análisis de Northern, análisis de micromatrices (microplacas de ADN) o anticuerpos dirigidos contra las proteínas ltbp4 y sestrina.

Los procedimientos de las realizaciones (5) a (7) son adecuados para realizarse in vivo e in vitro.

El modelo animal de roedor de la presente invención puede usarse para analizar minuciosamente los mecanismos moleculares que controlan la ruta de sestrina/TGF-β, y para la identificación y clonación de genes modificadores capaces de modificar, agravar, reducir o inhibir el fenotipo asociado con el enfisema pulmonar y el cáncer u otras afecciones que aparecen en el modelo animal de la invención. Además, el modelo animal de roedor puede usarse para la identificación de marcadores de diagnóstico tempranos para el cáncer y/o el enfisema pulmonar u otras

afecciones que aparecen en el modelo animal de la invención. Además, el modelo animal de roedor de la presente invención puede usarse para el control de la actividad de agentes útiles en la prevención o tratamiento del cáncer y/o del enfisema pulmonar u otras afecciones que aparecen en el modelo animal de roedor de la invención, y como sistema de modelo de ensayo para agentes sospechosos de promover o agravar el cáncer y/o el enfisema pulmonar u otras afecciones que aparecen en el modelo animal de la invención.

La invención se explica adicionalmente en los ejemplos siguientes que, sin embargo, no deben interpretarse como una limitación de la invención.

#### **Ejemplos**

40

## Procedimientos

- Cultivos celulares: Células ES obtenidas de la cepa [129/SvPas] se cultivaron sobre capas alimentadoras de MEF irradiadas (32 Gy) en DMEM complementado con suero fetal de ternera inactivado por calor y preseleccionado al 15% (v/v) (FCS) (Linaris, Bettingen, Alemania), aminoácidos no esenciales 100 mM (Gibco), mercaptoetanol 0,1mM (Sigma), 1000 U/ml de factor inhibidor de leucemia (LIF) (Esgro<sup>R</sup>; Gibco/BRL), como se describe (De-Zolt S., y col. Nucleic Acids Res. 34: e25, 2006). Se establecieron cultivos de fibroblastos de pulmón y colon a partir de ratones adultos de tipo silvestre y sens-/- de acuerdo con protocolos convencionales como se ha descrito anteriormente (Koli K., y col. J Cell Biol. 167: 123-33, 2004) y se cultivaron en medio de Eagle modificado por Dulbecco (DMEM) complementado con suero fetal de ternera al 10% (Life Technologies), penicilina 100 Ul/ml y estreptomicina 50 μg/ml. Durante las dos primeras semanas en cultivo se produjo una inmortalización espontánea, generando líneas celulares
- 20 RACE 5' y secuenciación: Se prepararon ADNc de líneas celulares ES que expresaban trampa de genes a partir del ARN poliadenilado usando un dispositivo robótico RoboAmp (MWG Biotech, Ebersberg, Alemania) con una capacidad de procesamiento de 96 muestras/día. Se lisaron muestras de 2 x 10<sup>5</sup> células en 1 ml de tampón de lisis que contenía Tris/HCl 100 mM pH 8,0, LiCl 500 mM, EDTA 10 mM, LiDS al 1% y DTT 5 mM. Se capturó el ARN poliadenilado a partir de los lisados mediante cebadores oligo-d(T) marcados con biotina, de acuerdo con las instrucciones de los fabricantes (Roche Diagnostics Corp., Indianápolis, IN, Estado Unidos) y se pusieron en placas 25 de 96 pocillos revestidas con estreptavidina (AB Gene, Surrey, Reino Unido). Después del lavado, se realizó la síntesis de ADNc en fase sólida in situ usando hexámeros aleatorios y SuperScript II RT (Invitrogen, Karlsruhe, Alemania). Para eliminar el exceso de cebadores los ADNc se filtraron a través de placas de PCR Multiscreen (Millipore Corp. Bedford, MA, Estados Unidos). Los extremos 5' de los ADNc purificados se confeccionaron con dCTP usando transferasa terminal -TdT- (Invitrogen, Karlsruhe, Alemania), siguiendo las instrucciones del fabricante. 30 Para la amplificación por PCR de las secuencias celulares adjuntas a los transcritos de la trampa de genes se usaron los cebadores específicos de vector siguientes: 5'-CTA CTA CTA GGC CAC GCG TCG ACT AGT ACG GGI IGG GII GGG IIG-3' (SEC ID Nº: 4) y 5'-GCC AGG GTT TTC CCA GTC ACG A-3' (SEC ID Nº: 5); y para la PCR anidada: 5'-CTA CTA CTA CTA GGC CAC GCG TCG ACT AGT AC-3' (SEC ID Nº: 6) y 5'-TGT AAA ACG ACG GCC AGT GTG AAG GCT GTG CGA GGC CG-3' (SEC ID Nº: 7). Los productos de amplificación se secuenciaron 35 directamente usando las máquinas de secuenciación AB377 o ABI3700 (Applied Biosystems ABI, Foster City, Estados Unidos).
  - Inyecciones de células ES, reproducción y genotipado: Se generaron quimeras derivadas de células ES W077E06 (TBV-2; 129SvPas) por inyección de blastocistos C57Bl/6. Las quimeras macho resultantes se cruzaron con hembras C57Bl/6, y la descendencia agutí F1 que contenía el transgén interrumpido se cruzó entre sí para obtener ratones F2 homocigotos. Se realizó el genotipado en ADN de cola de ratón por PCR genómica usando cebadores contra las secuencias que flanquean la inserción de la trampa de genes previamente identificada en células ES por PCR inversa y secuenciación.
- Histología, histoquímica e inmunohistoquímica: Se prepararon secciones de parafina de tejidos de ratón y se tiñeron usando procedimientos de histología convencionales. Para visualizar fibras de elastina y de colágeno, se tiñeron portaobjetos microscópicos con resorcina-fucsina de Weigert o tinción tricrómica de Masson como se ha descrito anteriormente (Sterner-Kock A., y col. Genes Dev. 16: 2264-2273, 2002). Se realizaron inmunotinciones usando anticuerpos policionales de conejo anti-P-Smad2 como se ha descrito en Sterner-Kock y col (Sterner-Kock A., y col. Genes Dev. 16: 2264-2273, 2002).
- Plastinaciones: Tráqueas de pulmones preparados a partir de ratones mutantes y de tipo silvestre se inyectaron a temperatura ambiente con 1-2 ml de silicona E RTV (Dow Corning, Midland, Ml, Estados Unidos) usando una jeringa de 2 ml. Se añadió agente de curado a una proporción de 1:10 al polímero de silicona inmediatamente antes de la inyección. La inyección se interrumpió cuando la silicona era visible bajo la superficie de ambos pulmones. Después de la inyección, se dejó que la silicona se endureciera durante 24-48 horas, después de lo cual los especímenes se pusieron en solución de hidróxido de potasio al 10% durante 5-7 días, y después se dejaron en agua en ebullición durante 8-12 horas para separar el tejido del polímero. Después de la maceración en agua en ebullición, los especímenes se pusieron en peróxido de hidrógeno al 5% durante aproximadamente 2 horas para completar la eliminación de tejidos residuales. Después, los moldes se aclararon en agua corriente durante una noche.

Aislamiento de ARN, RT-PCR y análisis de proteína: Se aisló el ARN celular total usando el kit RNeasy Mini (Qiagen) de acuerdo con las instrucciones del fabricante. Se determinaron espectrofotométricamente (Ultrospec 3000, Amersham) las concentraciones y purezas del ARN, así como por electroforesis en gel de agarosa seguida de tinción con bromuro de etidio. Se realizaron RT-PCR de acuerdo con protocolos convencionales usando 75 ng de ARN total sometido a transcripción inversa en un volumen total de 50 μl. Se realizó un análisis de RT-PCR a tiempo real de la expresión del gen de sestrina 2 en células ES usando química de verde de SYBR (ABgene, Epsom, Reino Unido) y una máquina iCycler (Biorad). Se sintetizó el ADNc a partir del ARN total usando cebado aleatorio y la transcriptasa inversa Supercript II (Invitrogen). Las reacciones de PCR se procesaron como triplicados en volúmenes de 25 μl en placas de 96 pocillos, conteniendo cada reacción ADNc derivado de 15 ng de ARN total, mezcla de fluoresceína SYBR ABsolute 1x (ABgene) y 5 pmol de cada uno de los cebadores siguientes: 5'-CCTGGAACGGAACCTCAAAATC-3' (SEC ID Nº: 8) y 5'-GGGCTTCAAGGAG-CAGCAAG-3'(SEC ID Nº: 9). Se dejó que las reacciones de amplificación se desarrollaran durante 35 ciclos a 94°C durante 15 s, 61°C durante 30 s y 72°C durante 30 s. Para los lisados de transferencia de Western de fibroblastos de pulmón y colon, se resolvieron por SDS-PAGE, se transfirieron a membranas de nitrocelulosa y se hicieron reaccionar con anticuerpo policlonal de conejo anti-sestrina 2 (PTG Inc., Chicago, IL).

10

15

20

25

30

35

40

50

55

<u>Determinación de los niveles de peróxido intracelular:</u> Se trataron con tripsina  $3 \times 10^5$  fibroblastos de pulmón o de colon de ratones de tipo silvestre  $sesn2^{-7}$  sembrados en placas de Petri de 6 cm un día antes, se lavaron en DMEM sin suero y se resuspendieron en 5 ml de DMEM sin suero. Se añadió  $H_2O_2$  a algunos cultivos a una concentración final de 200 μM. Después de una incubación durante 3 horas, se añadió diclorodihidrofluoresceína (DCF) a las células a una concentración final de 30 μM y se incubó durante otra hora. Después de que las células se lavaran en PBS, se trataron con tripsina y se resuspendieron en 300 μl de PBS que se sometieron a análisis de FACS.

Ejemplo 1: Una inserción de trampa de genes pT1βgeo en el gen de sestrina 2 induce una mutación nula en ratones transgénicos.

La línea celular ES de trampa de genes W077E06 se obtuvo por electroporación del vector de trampa de genes pT1βgeo mostrado en la SEC ID Nº: 10 en células ES TBV-2 (129SvPas) como se ha descrito anteriormente (Floss, T. y Wurst, W. Methods Mol Biol 185, 347-79, 2002). Se seleccionaron clones de células ES que expresaban trampa de genes en G418 200 μg/ml (Gibco/BRL), se escogieron manualmente, se expandieron y se almacenaron congelados en nitrógeno líquido. La inserción de la trampa de genes en el 9º intrón del gen de sestrina 2 (sesn2) se identificó entre los genes recuperados por RACE 5', como se describe en la sección de Procedimientos, y por análisis de la base de datos de secuencias (Genbank en http://www.ncbi.nlm.nih.gov) usando el algoritmo BlastN. La inserción de la trampa de genes en la línea celular W077E06 se verificó por PCR genómica (véanse los Procedimientos) usando los cebadores siguientes complementarios a las secuencias de la trampa de genes y del 5'-CAGCCTTGAGCCTCTGGAGC-3' arriba adyacente: (SEC ID Nº: 11) y CTACCCTGAGAAGACGACCCG-3' (SEC ID Nº: 12). Las células ES W077E06 verificadas se convirtieron después en ratones mediante inyección de blastocistos. Los ratones F1 que llevaban el alelo de la trampa de genes se cruzaron entre sí y la descendencia F2 se emparejó con ratones ltbp4/- (documento WO 03/015505 A3) para obtener ratones doblemente knock out.

La Figura 3 muestra la estrategia de genotipado para los ratones W077E06 (sesn2). Se amplificó por PCR ADN de la cola en reacciones en paralelo usando un cebador directo en el 9º exón (5'-CTACCCTGAGAAGACGACCCG-3'; SEC ID Nº: 13) y dos cebadores inversos; uno en el 9º intrón para detectar el alelo de tipo silvestre (5'-GGACAAATCAAGGTTACACAGAAAAAAGTC-3'; SEC ID Nº: 14) y el otro en el sitio aceptor de corte y empalme de la trampa de genes para detectar el alelo de la trampa de genes (5'-CAGCCTTGAGCCTCTGGAGC-3'; SEC ID Nº: 15). Se dejó que las reacciones de amplificación se desarrollaran durante 30 ciclos a 94°C durante 15 s, 61°C durante 30 s y 72°C durante 30s.

45 El cruzamiento de la descendencia heterocigota F1 entre sí produjo una descendencia homocigota a una frecuencia que concuerda con un patrón de herencia mendeliana del transgén interrumpido, indicando que el sesn2 no es necesario para el desarrollo. Los ratones mutantes se desarrollaron normalmente después del nacimiento y eran sumamente indistinguibles de sus hermanos de camada heterocigotos y de tipo silvestre.

La inserción de la trampa de genes en el 9º intrón del gen sesn2 induce un transcrito de fusión en el que los exones cadena arriba de la inserción se cortan y empalman en fase de lectura respecto a βgeo. Debido a que la transcripción se termina en el sitio de poliadenilación de la trampa de genes, el transcrito de fusión procesado codifica una versión truncada de sesn2 y el indicador βgeo (Figura 3). La Figura 4 muestra una expresión débil de esta proteína en un embrión heterocigoto temprano teñido con X-Gal.

Los transcritos de *sesn2* de tipo silvestre se perdieron completamente de pulmones de ratones W077E06 homocigotos, mientras que los pulmones heterocigotos expresaban aproximadamente el 50% de los niveles de tipo silvestre (Figura 5A). Además, en fibroblastos aislados de pulmón (MLF) y colon (CLF), que expresan ambos altos niveles de sesn2 (Figura 5B), no se detectó proteína en las células de ratones W077E06 homocigotos, sugiriendo que la inserción de la trampa de genes había inducido una mutación nula (Figura 5B). De acuerdo con la débil expresión de β-galactosidasa en los embriones tempranos (Figura 4), los MLF mutantes expresaban sólo cantidades

vestigiales de la proteína de fusión sesn2/geo, insinuando que la proteína relativamente grande es inestable (Figura 5B). Dada su baja expresión, es poco probable que esta proteína tenga un efecto negativo dominante incluso si la proteína truncada conservase cierta función residual.

**Ejemplo 2**: Los alelos nulos de sesn2 mejoran el enfisema pulmonar en ratones ltb4<sup>-/-</sup>.

25

30

35

40

45

50

55

60

Células ES 129/Sv (D3) con una inserción de vector de trampa de genes U3Cre (SEC ID Nº: 16) en el 5º intrón del gen de ltbp4 se inyectaron en blastocistos C57BL/6 como se ha descrito anteriormente (documento WO 03/015505, Thorey, I. S. y col. Mol Cell Biol 18, 3081-3088, 1998). Las quimeras macho resultantes se cruzaron con hembras C57BL/6 y la descendencia aqutí se ensayó para determinar la transmisión del transgén por transferencia de material de la cola. Se escindió ADN de cola de ratón con BgIII que no corta provirus. El ADN se fraccionó en geles 10 de agarosa al 1%, se transfirió sobre filtros de nylon Hybond N (Amersham/Pharmacia, Piscataway, NJ) y se hibridó con una sonda de secuencia flanqueante de provirus marcada con <sup>32</sup>P. Los animales heterocigotos para la inserción de la trampa de genes se retrocruzaron con ratones C57BL/6 durante al menos seis generaciones antes de analizar los fenotipos en la descendencia heterocigota y homocigota. Para obtener cepas dobles mutantes, los ratones ltbp4\*/- heterocigotos se cruzaron con ratones sesn2\*/- homocigotos y la descendencia se genotipó por PCR de ADN de cola como se ha descrito en el Ejemplo 1, usando los cebadores específicos de alelo siguientes: alelo de tipo 15 silvestre de ltbp4 = 5'-CCAATCTTGCTTGCTGAGC-3' (SEC ID Nº: 17) y 5'-GGC-TCATGCTTGAATGTTTCAG-Nº: 22); trampa de genes de sesn2 (alelo mutante) = 5'-CTACCCTGAGAAGACGACCCG-3' (SEC ID Nº: 23) y 5'-20 CAGCCTTGAGCCTCTGGAGC-3' (SEC ID Nº: 24).

La Figura 6B muestra un pulmón enfisematoso típico de un ratón *ltbp4*<sup>-/-</sup> adulto (documento WO 03/015505). Muestra alvéolos masivamente dilatados rodeados por paredes de los septos delgadas, displásicas y frecuentemente rotas. El tejido conectivo lobular está significativamente reducido y los pulmones muestran áreas atelectásicas multifocales. De acuerdo con una recuperación parcial, los espacios alveolares en los hermanos de camada dobles mutantes *ltbp4*<sup>-/-</sup> sesn<sup>-/-</sup> eran más numerosos, de un tamaño reducido y estaban separados por paredes más gruesas (Figura 6D).

Para detectar el grado de daño de los bronquiolos, conductos alveolares y alvéolos, los inventores visualizaron los árboles traqueobronquiales de estos animales por plastinación. La plastinación implica la instilación de silicona en las tráqueas del pulmón aislado. Puesto que los conductos alveolares impiden que la silicona entre en los sacos alveolares, la técnica proporciona una imagen tridimensional informativa del árbol traqueobronquial (Perry S. F., y col. Exp Lung Res. 26: 27-39, 2000). La Figura 7 (paneles izquierdos) muestra el árbol traqueobronquial de dos ratones de tipo silvestre de 5.5 meses de edad con ramificaciones hacia abaio hasta los bronquiolos terminales y los conductos alveolares. En hermanos de camada Itbp4 mutantes, estas ramificaciones estaban casi completamente ocultas por espacios aéreos aumentados de tamaño rellenos con silicona, sugiriendo que los bronquiolos terminales y los conductos alveolares estaban aumentados de tamaño y con fugas (Figura 7, paneles del medio). Sin embargo, se observó una mejora espectacular en la arquitectura traqueobronquial en ratones Itbp4<sup>7-</sup> que llevaban dos alelos nulos sesn2 ( $ltbp4^{-/2}$  sens2 $^{-/2}$ ) (Figura 7, paneles derechos). Al contrario que una arquitectura traqueobronquial casi invisible en ratones  $ltbp4^{-/2}$ , el árbol traqueobronquial de los dobles mutantes estaba de nuevo próximo a la normalidad, insinuando una regeneración de los bronquiolos terminales y de los conductos alveolares. Estas modificaciones eran mucho más espectaculares que los cambios paranquimales que presumiblemente reflejan una regeneración desigual de fibras de colágeno y elastina, que son los componentes principales de la MEC pulmonar (Suki B., y col. J Appl Physiol. 98: 1892-9, 2005). Aunque ambos forman redes de fibras densas por todo el pulmón, las fibras de elastina se distribuyen uniformemente, mientras que las fibras de colágeno tienden a condensarse alrededor de los bronquiolos terminales y de los conductos alveolares (Toshima M., y col. Arch Histol Cytol. 67: 31-40, 2004). Basándose en esto, los inventores especularon que la recuperación preferente del árbol traqueobronquial en los ratones Itbp4<sup>-/-</sup> sens2<sup>-/-</sup> podía ser el resultado de un exceso de deposición de colágeno en la MEC pulmonar.

Para ensayar esto, Los inventores visualizaron la elastina y el colágeno en secciones de tejido pulmonar usando tinciones histoquímicas específicas. La Figura 8A muestra que la red de elastina de pulmones  $ltbp4^{-/-}$  y  $ltbp4^{-/-}$  ses $n2^{-/-}$  aparecía fragmentada, discontinua y condensada en ambos. Por el contrario, la deposición de colágeno se aumentaba espectacularmente en los pulmones de dobles mutantes (Figura 8B). Puesto que el TGF- $\beta$  es uno de los inductores de colágeno más potentes, la deposición excesiva de colágeno sugería una reactivación de la señalización de TGF- $\beta$  en los pulmones  $ltbp4^{-/-}$  ses $n2^{-/-}$ . Puesto que también se observó recuperación traqueobronquial y deposición aumentada de colágeno en ratones  $ltbp4^{-/-}$  heterocigotos para sesn2 ( $ltbp4^{-/-}$  ses $n2^{-/-}$ ) (Figuras 9, 10), la mutación sesn2 podría ser haploinsuficiente.

Ejemplo 3: Los alelos nulos de sesn2 mejoran el prolapso rectal y los adenomas colorrectales en ratones Itbp4<sup>7</sup>.

La Figura 13 muestra un adenoma colorrectal típico de ratón  $Itbp4^{-/-}$  (documento WO 03/015505 A3) de 3 meses de edad. Microscópicamente, la región mostraba focos de criptas aberrantes que contenían células epiteliales en regeneración y un número aumentado de células caliciformes. Aunque los hermanos de camada dobles mutantes  $Itbp4^{-/-}$  ses $n2^{-/-}$  también mostraban adenomas, estos eran de un tamaño significativamente menor y contenían menos

células caliciformes (Figura 11), sugiriendo un rescate fenotípico parcial. Puesto que el fenotipo ltbp4-/- está esencialmente causado por una activación de TGF- $\beta$  defectuosa (Sterner-Kock A., y col. Genes Dev. 16: 2264-2273, 2002), los inventores ensayaron si el rescate parcial estaba asociado con una reactivación de la señalización de TGF- $\beta$ . Con este fin, los inventores determinaron los niveles de smad2 fosforilado en secciones tisulares por inmunohistoquímica. De acuerdo con una activación de la señalización de TGF- $\beta$  en ratones  $ltbp4^{f/-}$  sesn2-f/-, los niveles de p-smad2 eran muy elevados en comparación con los ratones simples mutantes  $ltbp4^{f/-}$ , que no tenían P-smad2 detectable en su colon (Figura 12).

**<u>Ejemplo 4</u>**: Los pulmones sesn2<sup>-/-</sup> muestran una señalización de TGF-β aumentada.

5

25

30

La deposición de colágeno aumentada en el pulmón y los niveles de P-smad2 aumentados en el colon de ratones \$\$10\$\$ \$\$Itbp4^\(\text{r}\) sesn2^\(\text{r}\) sugerían que la ruta del TGF-\(\beta\) podría estar activada de forma similar en los ratones \$\$sesn2^\(\text{r}\) a pesar de su fenotipo sumamente normal. Para ensayar esto, los inventores visualizaron el P-smad2 en secciones tisulares de pulmón como se ha descrito anteriormente. En un experimento preliminar, los inventores encontraron que los niveles de P-smad2 en pulmones \$\$sesn2^\(\text{r}\) superaban significativamente los niveles de tipo silvestre, sugiriendo que la pérdida de sestrina 2 activa el TGF-\(\beta\) (Figura 13). Además, aunque no se podía detectar una deposición de colágeno aumentada mediante la tinción tricrómica de Mason (no se muestran los datos), los pulmones \$\$sesn2^\(\text{r}\) mostraban un tejido conectivo más abundante, espacios aéreos más pequeños y paredes intraalveolares más gruesas, concordando todo con una fibrosis inducida por TGF-\(\beta\) incipiente (Figura 14) (Sime P. J., y col. J Clin Invest. 100: 768-76, 1997; Lee M. S., y col. Am J Pathol. 147: 42-52, 1995; Sanderson N., y col. Proc Natl Acad Sci U S A. 92: 2572-6, 1995).

20 <u>Ejemplo 5:</u> Acumulación de peróxido aumentada en fibroblastos de pulmón de ratón (MLF) obtenidos de ratones sesn2<sup>-/-</sup>.

Experimentos publicados recientemente han demostrado que la inhibición de la expresión de sesn2 por ARNhc compromete la capacidad de la célula para procesar ROS, conduciendo a la acumulación de ROS y a estrés oxidativo (Budanov A. V., y col. Science 304: 596-600, 2004). En línea con esto, los inventores esperaban que las funciones antioxidantes estuvieran comprometidas de forma similar en células obtenidas de ratones *knock out* para sesn2. Para ensayar esto, los inventores cuantificaron los niveles de ROS inducidos por H<sub>2</sub>O<sub>2</sub> y basales en MLF usando el procedimiento de fluorescencia de diclorodihidrofluoresceína (DCF). La Figura 15 muestra que los MLF sesn2. Se acumulaban significativamente más ROS que las células de tipo silvestre correspondientes, independientemente del pretratamiento con H<sub>2</sub>O<sub>2</sub> 200 mM. Los resultados son equivalentes a los obtenidos en los experimentos de reducción de la expresión (*knock down*) con ARNhc y concuerdan con una pérdida de función de sesn2 en los MLF mutantes.

## Listado de Secuencias, Texto Libre

SEC ID Nº: 1-9 Cebador

SEC ID Nº: 10 Elementos del plásmido pTβgeo de vector de trampa de genes:

- Aceptor de corte y empalme En-2 2284-4163  $\beta$ Geo 4164-8053 - SV40 pA 8054-8496 - cadena principal del plásmido 8497-2283

SEC ID Nº: 11-15 Cebador

SEC ID Nº: 16 Elementos del plásmido U3Cre de vector de trampa de genes:

- LTR 1-1475 y 3046-4520 - Cre 3-1090 y 3074-4133 - gag/env: 1475-3045

SEC ID Nº: 17-24 Cebador

### LISTADO DE SECUENCIAS

5 <110> FrankGen Biotechnologie AG

<120> Modelo animal para la selección y validación de agentes activos contra el enfisema pulmonar y el cáncer colorrectal

10 <130> 071673wo/JH

<150> EP 06120714.8 <151> 15-09-2006

15 <160> 24

<170> PatentIn versión 3.3

<210> 1 20 <211> 492 <212> PRT

<213> Mus musculus

<400> 1

25

Met 1	Arg	Leu	Ala	Ala 5	Ala	Ser	Asn	Glu	Ala 10	Tyr	Ala	Ala	Ser	Leu 15	Ala
Val	Ser	Glu	Leu 20	Leu	Ser	Cys	His	Gln 25	Cys	Gly	Gly	Asp	Arg 30	Gly	Gln
Asp	Glu	Glu 35	Leu	Gly	Ile	Arg	Ile 40	Pro	Arg	Pro	Leu	Gly 45	His	Gly	Pro
Ser	Arg 50	Phe	Ile	Pro	Glu	Lys 55	Glu	Met	Leu	Gln	Val 60	Gly	Ser	Glu	Asp
Ala 65	Gln	Met	His	Ala	Leu 70	Phe	Ala	Asp	Ser	Phe 75	Ala	Ala	Leu	Gly	Arg 80
Leu	Asp	Asn	Ile	Thr 85	Leu	Val	Met	Val <sub>.</sub>	Phe 90	His	Pro	Gln	Tyr	Leu 95	Glu
Ser	Phe	Leu	Lys 100	Thr	Gln	His	Tyr	Leu 105	Leu	Gln	Met	Asp	Gly 110	Pro	Leu
Pro	Leu	His 115	Tyr	Arg	His	Tyr	Ile 120	Gly	Ile	Met	Ala	Ala 125	Ala	Arg	His
Gln	Cys 130	Ser	Tyr	Leu	Val	Asn 135	Leu	His	Val	Ser	Asp 140	Phe	Leu	His	Val
Gly 145	Gly	Asp	Pro	Lys	Trp 150	Leu	Asn	Gly	Leu	Glu 155	Asn	Ala	Pro	Gln	Lys 160

Leu	Gln	Asn	Leu	Gly 165	Glu	Leu	Asn	Lys	Val 170	Leu	Ala	His	Arg	Pro 175	Trp
Leu	Ile	Thr	Lys 180	Glu	His	Ile	Glu	Gly 185	Leu	Leu	Lys	Ala	Glu 190	Glu	His
Ser	Trp	Ser 195	Leu	Ala	Glu	Leu	Val 200	His	Ala	Val	Val	Leu 205	Leu	Thr	His
Tyr	His 210	Ser	Leu	Ala	Ser	Phe 215	Thr	Phe	Gly	Cys	Gly 220	Ile	Ser	Pro	Glu
Ile 225	His	Cys	Asp	Gly	Gly 230	His	Thr	Phe	Arg	Pro 235	Pro	Ser	Val	Ser	Asn 240
Tyr	Cys	Ile	Cys	Asp 245	Ile	Thr	Asn	Gly	Asn 250	His	Ser	Val	Asp	Glu 255	Met
Gln	Val	Asn	Ser 260	Ala	Gly	Asn	Ala	Ser 265	Val	Ser	Asp	Ser	Phe 270	Phe	Glu
Val	Glu	Ala 275	Leu	Met	Glu	Lys	Met 280	Arg	Gln	Leu	Gln	Glu 285	Cys	Arg	Glu
Glu	Glu 290	Glu	Ala	Ser	Gln	Glu 295	Glu	Met	Ala	Ser	Arg 300	Phe	Glu	Met	Glu
Lys 305	Arg	Glu	Ser	Met	Phe 310	Val	Phe	Ser	Ser	Asp 315	Asp	Asp	Glu	Val	Thr 320
Pro	Ala	Arg	Asp	Val 325	Ser	Arg	His	Phe	Glu 330	Asp	Thr	Ser	Tyr	Gly 335	Tyr
Lys	Asp	Phe	Ser 340	Arg	His	Gly	Met	His 345	Val	Pro	Thr	Phe	Arg 350	Val	Gln
Asp	Tyr	Cys 355	Trp	Glu	Asp	His	Gly 360	Tyr	Ser	Leu	Val	Asn 365	Arg	Leu	Tyr
Pro	Asp 370	Val	Gly	Gln	Leu	Ile 375	Asp	Glu	Lys	Phe	His 380	Ile	Pro	Tyr	Asn
Leu 385	Thr	Tyr	Asn	Thr	Met 390	Ala	Met	His	Lys	Asp 395	Val	Asp	Thr	Ser	Met 400
Leu	Arg	Arg	Ala	Ile 405	Trp	Asn	Tyr	Ile	His 410	Cys	Met	Phe	Gly	Ile 415	Arg

Tyr Asp Asp Tyr Asp Tyr Gly Glu Ile Asn Gln Leu Leu Asp Arg Ser 420 425 430

Lys Arg Met Tyr Asp Ser Phe Trp Arg Gln Phe Lys His Ser Glu Lys 450 455 460

Val His Val Asn Leu Leu Leu Ile Glu Ala Arg Met Gln Ala Glu Leu 465 470 475 480

Leu Tyr Ala Leu Arg Ala Ile Thr Arg Tyr Met Thr 485 490

<210> 2

<211> 492

<212> PRT

5

<213> Mus musculus

<400> 2

Met Asn Arg Gly Gly Ser Ser Ala Ser Ala Ser Ala Asn Tyr Leu Leu 1 5 10 15

Cys Thr Asn Cys Arg Lys Val Leu Arg Lys Asp Lys Arg Ile Arg Val 20 25 30

Ser Gln Pro Leu Thr Arg Gly Pro Ser Ala Phe Ile Pro Glu Lys Glu 35 40 45

Val Val Gln Ala Asn Thr Ala Asp Glu Arg Thr Asn Phe Leu Val Glu 50 55 60

Glu Tyr Ser Thr Ser Gly Arg Leu Asp Asn Ile Thr Gln Val Met Ser 65 70 75 80

Leu His Thr Gln Tyr Leu Glu Ser Phe Leu Arg Ser Gln Phe Tyr Met 85 90 95

Leu Arg Met Asp Gly Pro Leu Pro Leu Pro Asp Arg His Tyr Ile Ala 100 105 110

Ile Met Ala Ala Ala Arg His Gln Cys Ser Tyr Leu Ile Asn Met His 115 120 125

Val Asp Glu Phe Leu Lys Thr Gly Gly Ile Ala Glu Trp Leu Asn Gly 130 135 140

Leu 145	Glu	Tyr	Val	Pro	Gln 150	Arg	Leu	Arg	Asn	Leu 155	Asn	Glu	Ile	Asn	Lys 160
Leu	Leu	Ala	His	Arg 165	Pro	Trp	Leu	Ile	Thr 170	Lys	Glu	His	Ile	Gln 175	Lys
Leu	Val	Lys	Thr 180	Gly	Glu	Asn	Asn	Trp 185	Ser	Leu	Pro	Glu	Leu 190	Val	His
Ala	Val	Val 195	Leu	Leu	Ala	His	Tyr 200	His	Ala	Leu	Ala	Ser 205	Phe	Val	Phe
Gly	Ser 210	Gly	Ile	Asn	Pro	Glu 215	Arg	Asp	Pro	Gly	Ile 220	Ala	Asn	Gly	Phe
Arg 225	Leu	Ile	Ser	Val	Ser 230	Ser	Phe	Cys	Val	Cys 235	Asp	Leu	Ala	Asn	Asp 240
Asn	Ser	Ile	Glu	Asn 245	Thr	Ser	Leu	Ala	Gly 250	Ser	Asn	Phe	Gly	Ile 255	Val
Asp	Ser	Leu	Gly 260	Glu	Leu	Glu	Ala	Leu 265	Met	Glu	Arg	Met	Lys 270	Arg	Leu
Gln	Glu	Asp 275	Arg	Glu	Asp	Asp	Glu 280	Thr	Thr	Arg	Glu	Glu 285	Met	Thr	Thr
Arg	Phe 290	Glu	Lys	Glu	Lys	Lys 295	Glu	Ser	Leu	Phe	Val 300	Val	Pro	Gly	Glu
Thr 305	Leu	His	Ala	Phe	Pro 310	His	Ser	Asp	Phe	Glu 315	Asp	Asp	Val	Ile	Val 320
Thr	Ala	Asp	Val	Ser 325	Arg	Tyr	Ile	Glu	Asp 330	Pro	Ser	Phe	Gly	Tyr 335	Glu
Asp	Phe	Ala	Arg 340	Arg	Gly	Glu	Glu	His 345	Leu	Pro	Thr	Phe	Arg 350	Ala	Gln
Asp	Tyr	Thr 355	Trp	Glu	Asn	His	Gly 360	Phe	Ser	Leu	Val	Asn 365	Arg	Leu	Tyr
Ser	Asp 370	Ile	Gly	His	Leu	Leu 375	Asp	Glu	Lys	Phe	Arg 380	Met	Val	Tyr	Asn
Leu	Thr	Tvr	Asn	Thr	Met	Ala	Thr	His	Glu	Asp	Val	Asp	Thr	Thr	Thr

395 385 390 400 Leu Arg Arg Ala Leu Phe Asn Tyr Val His Cys Met Phe Gly Ile Arg 405 410 Tyr Asp Asp Tyr Asp Tyr Gly Glu Val Asn Gln Leu Leu Glu Arg Ser 420 425 Leu Lys Val Tyr Ile Lys Thr Val Thr Cys Tyr Pro Glu Arg Thr Thr Lys Arg Met Tyr Asp Ser Tyr Trp Arg Gln Phe Thr His Ser Glu Lys Val His Val Asn Leu Leu Met Glu Ala Arg Met Gln Ala Glu Leu 465 470 475 Leu Tyr Ala Leu Arg Ala Ile Thr Arg His Leu Thr 485

<210> 3

<211> 480

<212> PRT

<213> Mus musculus

<400> 3

Met	Ile	Val	Ala	Asp	Ser	Glu	Cys	His	Ser	Glu	Ile	Lys	Gly	Tyr	Leu
1				5					10					15	

Pro Phe Thr Arg Gly Gly Val Ala Gly Pro Glu Thr Arg Glu Glu His 20 25 30

Arg Glu Gly Gln Ala Arg Arg Gly Ser Arg Gly Pro Ser Ala Phe Ile 35 40 45

Pro Val Glu Glu Ile Leu Arg Glu Gly Ala Glu Ser Leu Glu Gln His 50 60

Leu Gly Leu Glu Ala Leu Met Ser Ser Gly Arg Val Asp Asn Leu Ala 65 70 75 80

Val Val Met Gly Leu His Pro Asp Tyr Leu Ser Ser Phe Trp Arg Leu 85 90 95

His Tyr Leu Leu His Thr Asp Gly Pro Leu Ala Ser Ser Trp Arg 100 105 110

His Tyr Ile Ala Ile Met Ala Ala Ala Arg His Gln Cys Ser Tyr Leu

		115					120					125			
Val	Gly 130	Ser	His	Met	Thr	Glu 135	Phe	Leu	Gln	Thr	Gly 140	Gly	Asp	Pro	Glu
Trp 145	Leu	Leu	Gly	Leu	His 150	Arg	Ala	Pro	Glu	Lys 155	Leu	Arg	Lys	Leu	Ser 160
Glu	Val	Asn	Lys	Leu 165	Leu	Ala	His	Arg	Pro 170	Trp	Leu	Ile	Thr	Lys 175	Glu
His	Ile	Gln	Ala 180	Leu	Leu	Lys	Thr	Gly 185	Glu	His	Ser	Trp	Ser 190	Leu	Ala
Glu	Leu	Ile 195	Gln	Ala	Leu	Val	Leu 200	Leu	Thr	His	Cys	His 205	Ser	Leu	Ala
Ser	Phe 210	Val	Phe	Gly	Суѕ	Gly 215	Ile	Leu	Pro	Glu	Gly 220	Asp	Ala	Glu	Gly
Ser 225	Pro	Ala	Ser	Gln	Ala 230	Pro	Ser	Pro	Pro	Ser 235	Glu	Gln	Gly	Thr	Pro 240
Pro	Ser	Gly	Asp	Pro 245	Leu	Asn	Asn	Ser	Gly 250	Gly	Phe	Glu	Ala	Ala 255	Arg
Asp	Val	Glu	Ala 260	Leu	Met	Glu	Arg	Met 265	Arg	Gln	Leu	Gln	Glu 270	Ser	Leu
Leu	Arg	Asp 275	Glu	Gly	Ala	Ser	Gln 280	Glu	Glu	Met	Glu	Asn 285	Arg	Phe	Glu
Leu	Glu 290	Lys	Ser	Glu	Ser	Leu 295	Leu	Val	Thr	Pro	Ser 300	Ala	Asp	Ile	Leu
Glu 305	Pro	Ser	Pro	His	Pro 310	Asp	Ile	Leu	Cys	Phe 315	Val	Glu	Asp	Pro	Ala 320
Phe	Gly	Tyr	Glu	Asp 325	Phe	Thr	Arg	Arg	Gly 330	Thr	Gln	Ala	Pro	Pro 335	Thr
Phe	Arg	Ala	Gln 340	Asp	Tyr	Thr	Trp	Glu 345	Asp	His	Gly	Tyr	Ser 350	Leu	Ile
Gln	Arg	Leu 355	Tyr	Pro	Glu	Gly	Gly 360	Gln	Leu	Leu	Asp	Glu 365	Lys	Phe	Gln

```
Val Ala Cys Ser Leu Thr Tyr Asn Thr Ile Ala Met His Ser Gly Val
                                          375
                                                                380
                   370
              Asp Thr Ser Met Leu Arg Arg Ala Ile Trp Asn Tyr Ile His Cys Val
              385
                                     390
                                                            395
                                                                                  400
              Phe Gly Ile Arg Tyr Asp Asp Tyr Asp Tyr Gly Glu Val Asn Gln Leu
                                 405
                                                       410
              Leu Glu Arg Asn Leu Lys Ile Tyr Ile Lys Thr Val Ala Cys Tyr Pro
                            420
                                                   425
              Glu Lys Thr Thr Arg Arg Met Tyr Asn Leu Phe Trp Arg His Phe Arg
                                                                    445
                       435
                                              440
              His Ser Glu Lys Val His Val Asn Leu Leu Leu Glu Ala Arg Met
                   450
                                          455
              Gln Ala Ala Leu Leu Tyr Ala Leu Arg Ala Ile Thr Arg Tyr Met Thr
                                    470
                                                            475
        <210> 4
        <211>48
5
        <212> ADN
        <213> Artificial
        <220>
        <223> cebador
10
        <220>
        <221> misc feature
        <222> (36)..(47)
        <223> n = inosina
15
        <400> 4
        ctactactac taggccacgc gtcgactagt acgggnnggg nngggnng
                                                        48
        <210>5
20
        <211> 22
        <212> ADN
        <213> Artificial
        <220>
25
        <223> cebador
        <400> 5
        gccagggttt tcccagtcac ga
                                22
30
        <210>6
        <211> 32
        <212> ADN
        <213> Artificial
35
        <220>
        <223> cebador
```

	<400> 6 ctactactac taggccacgc gtcgactagt ac 32	
5	<210> 7 <211> 38 <212> ADN <213> Artificial	
10	<220> <223> cebador	
	<400> 7 tgtaaaacga cggccagtgt gaaggctgtg cgaggccg 38	
15	<210> 8 <211> 21 <212> ADN <213> Artificial	
20	<220> <223> cebador	
	<400> 8 cctggaacgg aacctcaaaa t 21	
25	<210> 9 <211> 20 <212> ADN	
30	<213> Artificial <220> <223> cebador	
35	<400> 9 gggcttcaag gagcagcaag 20	
	<210> 10 <211> 8950 <212> ADN	
40	<213> Artificial <220>	
	<223> vector de trampa génica pTbetageo	
45	<400> 10	-
	tgtgagcaaa aggccagcaa aaggccagga accgtaaaaa ggccgcgttg ctggcgtttt	60
	tecatagget eegeeeeet gaegageate acaaaaateg aegeteaagt eagaggtgge	120
	gaaacccgac aggactataa agataccagg cgtttccccc tggaagctcc ctcgtgcgct	180
	ctcctgttcc gaccctgccg cttaccggat acctgtccgc ctttctccct tcgggaagcg	240
	tggcgctttc tcatagctca cgctgtaggt atctcagttc ggtgtaggtc gttcgctcca	300

agctgggctg	tgtgcacgaa	cccccgttc	agcccgaccg	ctgcgcctta	tccggtaact	360
atcgtcttga	gtccaacccg	gtaagacacg	acttatcgcc	actggcagca	gccactggta	420
acaggattag	cagagcgagg	tatgtaggcg	gtgctacaga	gttcttgaag	tggtggccta	480
actacggcta	cactagaaga	acagtatttg	gtatctgcgc	tctgctgaag	ccagttacct	540
tcggaaaaag	agttggtagc	tcttgatccg	gcaaacaaac	caccgctggt	agcggtggtt	600
tttttgtttg	caagcagcag	attacgcgca	gaaaaaaagg	atctcaagaa	gatcctttga	660
tcttttctac	ggggtctgac	gctcagtgga	acgaaaactc	acgttaaggg	attttggtca	720
tgagattatc	aaaaaggatc	ttcacctaga	tccttttaaa	ttaaaaatga	agttttaaat	780
caatctaaag	tatatatgag	taaacttggt	ctgacagtta	ccaatgctta	atcagtgagg	840
cacctatctc	agcgatctgt	ctatttcgtt	catccatagt	tgcctgactc	cccgtcgtgt	900
agataactac	gatacgggag	ggcttaccat	ctggccccag	tgctgcaatg	ataccgcgag	960
acccacgctc	accggctcca	gatttatcag	caataaacca	gccagccgga	agggccgagc	1020
gcagaagtgg	tcctgcaact	ttatccgcct	ccatccagtc	tattaattgt	tgccgggaag	1080
ctagagtaag	tagttcgcca	gttaatagtt	tgcgcaacgt	tgttgccatt	gctacaggca	1140
tcgtggtgtc	acgctcgtcg	tttggtatgg	cttcattcag	ctccggttcc	caacgatcaa	1200
ggcgagttac	atgatccccc	atgttgtgca	aaaaagcggt	tagctccttc	ggtcctccga	1260
tcgttgtcag	aagtaagttg	gccgcagtgt	tatcactcat	ggttatggca	gcactgcata	1320
attctcttac	tgtcatgcca	tccgtaagat	gcttttctgt	gactggtgag	tactcaacca	1380
agtcattctg	agaatagtgt	atgcggcgac	cgagttgctc	ttgcccggcg	tcaatacggg	1440
ataataccgc	gccacatagc	agaactttaa	aagtgctcat	cattggaaaa	cgttcttcgg	1500
ggcgaaaact	ctcaaggatc	ttaccgctgt	tgagatccag	ttcgatgtaa	cccactcgtg	1560
cacccaactg	atcttcagca	tcttttactt	tcaccagcgt	ttctgggtga	gcaaaaacag	1620
gaaggcaaaa	tgccgcaaaa	aagggaataa	gggcgacacg	gaaatgttga	atactcatac	1680
tcttcctttt	tcaatattat	tgaagcattt	atcagggtta	ttgtctcatg	agcggataca	1740
tatttgaatg	tatttagaaa	aataaacaaa	taggggttcc	gcgcacattt	ccccgaaaag	1800
tgccacctga	cgtctaagaa	accattatta	tcatgacatt	aacctataaa	aataggcgta	1860
tcacgaggcc	ctttcgtctc	gcgcgtttcg	gtgatgacgg	tgaaaacctc	tgacacatgc	1920
agctcccgga	gacggtcaca	gcttgtctgt	aagcggatgc	cgggagcaga	caagcccgtc	1980
agggcgcgtc	agcgggtgtt	ggcgggtgtc	ggggctggct	taactatgcg	gcatcagagc	2040
agattgtact	gagagtgcac	catatgcggt	gtgaaatacc	gcacagatgc	gtaaggagaa	2100
aataccgcat	caggcgccat	tcgccattca	ggctgcgcaa	ctgttgggaa	gggcgatcgg	2160
tgcgggcctc	ttcgctatta	cgccagctgg	cgaaaggggg	atgtgctgca	aggcgattaa	2220

gttgggtaac	gccagggttt	tcccagtcac	gacgttgtaa	aacgacggcc	agtgccaagc	2280
ttggaattca	tgggaagagg	aaccgaaagt	atgtttttca	gatgttcttt	ctcagaaata	2340
ggagtttgcg	gaggttggag	tgtgtgttgt	aggacacgaa	ccccagggtg	gaggagactg	2400
gaggacagag	ccctctttcc	cagggaggga	aggaggagag	tttgagatcc	gctccggaag	2460
tcggggttca	ggtttgagca	ggccaggcct	ctcccgtggt	ctcgccctct	tgtcctagaa	2520
gcctcactgg	ccaggtgtaa	gccaggtcgt	gggtgccgag	ccctgctccc	tcatcctcag	2580
catggatgtg	aagaggactg	tatggcgtgc	gggtgtgtgt	gaccgtgggt	acacttaaaa	2640
caccgggttt	tggatctgca	ctgtcccgga	tgtcctctgg	tgctcaaaga	cccttttggg	2700
tttgcccttt	ggtaagagcg	ccgggatcta	cttgtctgga	ggccagggag	tcctcagccg	2760
aggcttgccg	cccctgactg	cactgcactg	agtagtggat	gggagagtct	ggtaccgcac	2820
tgccggtttc	ctccaccatc	cccgcagcgc	agggcagtgc	attccgtcct	ggctgcgaag	2880
ggggatggtc	gggccttctc	cagcctcttc	cgcttctagc	ggaaggggcc	ttgatggaag	2940
ggcccgcatg	tctccaaagt	tgattcatgc	ttcttgcaca	gagaaagacc	agaaagaagg	3000
tctcaagttt	tagccggtag	cccggatggc	ctttcctgca	cggcaccata	tgaaccttgt	3060
gaccctgaca	aagagacccc	tctaacccaa	gacccctacc	acttaccctt	tccctttgaa	3120
ggctttccca	caccaccctc	cacacttgcc	ccaaacactg	ccaactatgt	aggaggaagg	3180
ggttgggact	aacagaagaa	cccgttgtgg	ggaagctgtt	gggagggtca	ctttatgttc	3240
ttgcccaagg	tcagttgggt	ggcctgcttc	tgatgaggtg	gtcccaaggt	ctggggtaga	3300
aggtgagagg	gacaggccac	caaggtcagc	cccccccc	tatcccatag	gagccaggtc	3360
cctctcctgg	acaggaagac	tgaaggggag	atgccagaga	ctcagtgaag	cctggggtac	3420
cctattggag	tccttcaagg	aaacaaactt	ggcctcacca	ggcctcagcc	ttggctcctc	3480
ctgggaactc	tactgccctt	gggatcccct	tgtagttgtg	ggttacatag	gaagggggac	3540
gggattcccc	ttgactggct	agcctactct	tttcttcagt	cttctccatc	tcctctcacc	3600
tgtctctcga	ccctttccct	aggatagact	tggaaaaaga	taaggggaga	aaacaaatgc	3660
aaacgaggcc	agaaagattt	tggctgggca	ttccttccgc	tagcttttat	tgggatcccc	3720
tagtttgtga	taggcctttt	agctacatct	gccaatccat	ctcattttca	cacacacaca	3780
caccactttc	cttctggtca	gtgggcacat	gtccagcctc	aagtttatat	caccaccccc	3840
aatgcccaac	acttgtatgg	ccttgggcgg	gtcatccccc	ccccacccc	cagtatctgc	3900
aacctcaagc	tagcttgggt	gcgttggttg	tggataagta	gctagactcc	agcaaccagt	3960
aacctctgcc	ctttctcctc	catgacaacc	aggtcccagg	tcccgaaaac	caaagaagaa	4020
gaaccctaac	aaagaggaca	agcggcctcg	cacagccttc	actgctgagc	agctccagag	4080

gctcaaggct	gagtttcaga	ccaacaggta	cctgacagag	cagcggcgcc	agagtctggc	4140
acaggagete	ggtacccgga	agatctggac	tctagaggat	cccgtcgttt	tacaacgtcg	4200
tgactgggaa	aaccctggcg	ttacccaact	taatcgcctt	gcagcacatc	cccctttcgc	4260
cagctggcgt	aatagcgaag	aggcccgcac	cgatcgccct	tcccaacagt	tgcgcagcct	4320
gaatggcgaa	tggcgctttg	cctggtttcc	ggcaccagaa	gcggtgccgg	aaagctggct	4380
ggagtgcgat	cttcctgagg	ccgatactgt	cgtcgtcccc	tcaaactggc	agatgcacgg	4440
ttacgatgcg	cccatctaca	ccaacgtgac	ctatcccatt	acggtcaatc	cgccgtttgt	4500
tcccacggag	aatccgacgg	gttgttactc	gctcacattt	aatgttgatg	aaagctggct	4560
acaggaaggc	cagacgcgaa	ttatttttga	tggcgttaac	tcggcgtttc	atctgtggtg	4620
caacgggcgc	tgggtcggtt	acggccagga	cagtcgtttg	ccgtctgaat	ttgacctgag	4680
cgcattttta	cgcgccggag	aaaaccgcct	cgcggtgatg	gtgctgcgct	ggagtgacgg	4740
cagttatctg	gaagatcagg	atatgtggcg	gatgagcggc	attttccgtg	acgtctcgtt	4800
gctgcataaa	ccgactacac	aaatcagcga	tttccatgtt	gccactcgct	ttaatgatga	4860
tttcagccgc	gctgtactgg	aggctgaagt	tcagatgtgc	ggcgagttgc	gtgactacct	4920
acgggtaaca	gtttctttat	ggcagggtga	aacgcaggtc	gccagcggca	ccgcgccttt	4980
cggcggtgaa	attatcgatg	agcgtggtgg	ttatgccgat	cgcgtcacac	tacgtctgaa	5040
cgtcgaaaac	ccgaaactgt	ggagcgccga	aatcccgaat	ctctatcgtg	cggtggttga	5100
actgcacacc	gccgacggca	cgctgattga	agcagaagcc	tgcgatgtcg	gtttccgcga	5160
ggtgcggatt	gaaaatggtc	tgctgctgct	gaacggcaag	ccgttgctga	ttcgaggcgt	5220
taaccgtcac	gagcatcatc	ctctgcatgg	tcaggtcatg	gatgagcaga	cgatggtgca	5280
ggatatcctg	ctgatgaagc	agaacaactt	taacgccgtg	cgctgttcgc	attatccgaa	5340
ccatccgctg	tggtacacgc	tgtgcgaccg	ctacggcctg	tatgtggtgg	atgaagccaa	5400
tattgaaacc	cacggcatgg	tgccaatgaa	tcgtctgacc	gatgatccgc	gctggctacc	5460
ggcgatgagc	gaacgcgtaa	cgcgaatggt	gcagcgcgat	cgtaatcacc	cgagtgtgat	5520
catctggtcg	ctggggaatg	aatcaggcca	cggcgctaat	cacgacgcgc	tgtatcgctg	5580
gatcaaatct	gtcgatcctt	cccgcccggt	gcagtatgaa	ggcggcggag	ccgacaccac	5640
ggccaccgat	attatttgcc	cgatgtacgc	gcgcgtggat	gaagaccagc	ccttcccggc	5700
tgtgccgaaa	tggtccatca	aaaaatggct	ttcgctacct	ggagagacgc	gcccgctgat	5760
cctttgcgaa	tacgcccacg	cgatgggtaa	cagtcttggc	ggtttcgcta	aatactggca	5820
ggcgtttcgt	cagtatcccc	gtttacaggg	cggcttcgtc	tgggactggg	tggatcagtc	5880
gctgattaaa	tatgatgaaa	acggcaaccc	gtggtcggct	tacggcggtg	attttggcga	5940
tacgccgaac	gatcgccagt	tctgtatgaa	cggtctggtc	tttgccgacc	gcacgccgca	6000

tccagcgctg	acggaagcaa	aacaccagca	gcagttttc	cagttccgtt	tatccgggca	6060
aaccatcgaa	gtgaccagcg	aatacctgtt	ccgtcatagc	gataacgagc	tcctgcactg	6120
gatggtggcg	ctggatggta	agccgctggc	aagcggtgaa	gtgcctctgg	atgtcgctcc	6180
acaaggtaaa	cagttgattg	aactgcctga	actaccgcag	ccggagagcg	ccgggcaact	6240
ctggċtcaca	gtacgcgtag	tgcaaccgaa	cgcgaccgca	tggtcagaag	ccgggcacat	6300
cagcgcctgg	cagcagtggc	gtctggcgga	aaacctcagt	gtgacgctcc	ccgccgcgtc	6360
ccacgccatc	ccgcatctga	ccaccagcga	aatggatttt	tgcatcgagc	tgggtaataa	6420
gcgttggcaa	tttaaccgcc	agtcaggctt	tctttcacag	atgtggattg	gcgataaaaa	6480
acaactgctg	acgccgctgc	gcgatcagtt	cacccgtgca	ccgctggata	acgacattgg	6540
cgtaagtgaa	gcgacccgca	ttgaccctaa	cgcctgggtc	gaacgctgga	aggcggcggg	6600
ccattaccag	gccgaagcag	cgttgttgca	gtgcacggca	gatacacttg	ctgatgcggt	6660
gctgattacg	accgctcacg	cgtggcagca	tcaggggaaa	accttattta	tcagccggaa	6720
aacctaccgg	attgatggta	gtggtcaaat	ggcgattacc	gttgatgttg	aagtggcgag	6780
cgatacaccg	catccggcgc	ggattggcct	gaactgccag	ctggcgcagg	tagcagagcg	6840
ggtaaactgg	ctcggattag	ggccgcaaga	aaactatccc	gaccgcctta	ctgccgcctg	6900
ttttgaccgc	tgggatctgc	cattgtcaga	catgtatacc	ccgtacgtct	tcccgagcga	6960
aaacggtctg	cgctgcggga	cgcgcgaatt	gaattatggc	ccacaccagt	ggcgcggcga	7020
cttccagttc	aacatcagcc	gctacagtca	acagcaactg	atggaaacca	gccatcgcca	7080
tctgctgcac	gcggaagaag	gcacatggct	gaatatcgac	ggtttccata	tggggattgg	7140
tggcgacgac	tcctggagcc	cgtcagtatc	ggcggaattc	cagctgagcg	ccggtcgcta	7200
ccattaccag	ttggtctggt	gtcaggggat	cccccgggct	gcagccaata	tgggatcggc	7260
cattgaacaa	gatggattgc	acgcaggttc	tccggccgct	tgggtggaga	ggctattcgg	7320
ctatgactgg	gcacaacaga	caatcggctg	ctctgatgcc	gccgtgttcc	ggctgtcagc	7380
gcagggggg	ccggttcttt	ttgtcaagac	cgacctgtcc	ggtgccctga	atgaactgca	7440
ggacgaggca	gcgcggctat	cgtggctggc	cacgacgggc	gttccttgcg	cagctgtgct	7500
cgacgttgtc	actgaagcgg	gaagggactg	gctgctattg	ggcgaagtgc	cggggcagga	7560
tctcctgtca	tctcaccttg	ctcctgccga	gaaagtatcc	atcatggctg	atgcaatgcg	7620
gcggctgcat	acgcttgatc	cggctacctg	cccattcgac	caccaagcga	aacatcgcat	7680
cgagcgagca	cgtactcgga	tggaagccgg	tcttgtcgat	caggatgatc	tggacgaaga	7740
gcatcagggg	ctcgcgccag	ccgaactgtt	cgccaggctc	aaggcgcgca	tgcccgacgg	7800
cgaggatctc	gtcgtgaccc	atggcgatgc	ctgcttgccg	aatatcatgg	tggaaaatgg	7860

ccgcttttct ggattcatc	g actgtggccg	gctgggtgtg	gcggaccgct	atcaggacat	7920
agcgttggct acccgtgat	a ttgctgaaga	gcttggcggc	gaatgggctg	accgcttcct	7980
cgtgctttac ggtatcgcc	g ctcccgattc	gcagcgcatc	gccttctatc	gccttcttga	8040
cgagttcttc tgagcggga	c tctggggttc	gaaatgaccg	accaagcgac	gcccaacctg	8100
ccatcacgag atttcgatt	c caccgccgcc	ttctatgaaa	ggttgggctt	cggaatcgtt	8160
ttccgggacg ccggctgga	t gatcctccag	cgcggggatc	tcatgctgga	gttcttcgcc	8220
cacccccgg atctaagct	c tagataagta	atgatcataa	tcagccatat	cacatctgta	8280
gaggttttac ttgctttaa	a aaacctccca	cacctccccc	tgaacctgaa	acataaaatg	8340
aatgcaattg ttgttgtta	a cttgtttatt	gcagcttata	atggttacaa	ataaagcaat	8400
agcatcacaa atttcacaa	a taaagcattt	ttttcactgc	attctagttg	tggtttgtcc	8460
aaactcatca atgtatctt	a tcatgtctgg	atccgggggt	accgagctcg	aattcgtaat	8520
catgtcatag ctgtttcct	g tgtgaaattg	ttatccgctc	acaattccac	acaacatacg	8580
agccggaagc ataaagtgt	a aagcctgggg	tgcctaatga	gtgagctaac	tcacattaat	8640
tgcgttgcgc tcactgccc	g ctttccagtc	gggaaacctg	tcgtgccagc	tgcattaatg	8700
aatcggccaa cgcgcgggg	a gaggcggttt	gcgtattggg	cgctcttccg	cttcctcgct	8760
cactgactcg ctgcgctcg	g tcgttcggct	gcggcgagcg	gtatcagctc	actcaaaggc	8820
ggtaatacgg ttatccaca	g aatcagggga	taacgcagga	aagaacatgt	gagcaaaagg	8880
ccagcaaaag gccaggaac	c gtaaaaaggc	cgcgttgctg	gcgtttttcc	ataggctccg	8940
ccccctgac					8950

```
<210> 11
          <211> 20
<212> ADN
 5
          <213> Artificial
          <220>
          <223> cebador
10
          <400> 11
          cagcettgag cetetggage
                                      20
          <210> 12
15
          <211> 21
          <212> ADN
          <213> Artificial
          <220>
20
          <223> cebador
          <400> 12
           ctaccetgag aagaegaeee g
                                         21
```

<210> 13 <211> 21 <212> ADN

25

	<213> Artificial	
5	<220> <223> cebador  <400> 13  ctaccetgag aagacgacce g 21	
10	<210> 14 <211> 30 <212> ADN <213> Artificial	
15	<220> <223> cebador	
	<400> 14 ggacaaatca aggttacaca gaaaaaagtc 30	
20	<210> 15 <211> 20 <212> ADN <213> Artificial	
25	<220> <223> cebador	
30	<400> 15 cagcettgag cetetggage 20  <210> 16 <211> 4520 <212> ADN <213> Artificial	
35	<220> <223> vector de trampa génica U3Cre	
40	<400> 16  aatgaaagac cccacctgta ggtttggcaa gctagcatgc ccaagaagaa gaggaaggtg	60
	tocaatttac tgaccgtaca ccaaaatttg cotgoattac cggtcgatgc aacgagtgat	120
	gaggttcgca agaacctgat ggacatgttc agggatcgcc aggcgttttc tgagcatacc	180
	tggaaaatgc ttctgtccgt ttgccggtcg tgggcggcat ggtgcaagtt gaataaccgg	240
	aaatggtttc ccgcagaacc tgaagatgtt cgcgattatc ttctatatct tcaggcgcgc	300
	ggtctggcag taaaaactat ccagcaacat ttgggccagc taaacatgct tcatcgtcgg	360
	teegggetge caegaceaag tgacageaat getgttteae tggttatgeg geggateega	420
	aaagaaaacg ttgatgccgg tgaacgtgca aaacaggctc tagcgttcga acgcactgat	480
	ttcgaccagg ttcgttcact catggaaaat agcgatcgct gccaggatat acgtaatctg	540

gcatttctgg ggattgctta	taacaccctg	ttacgtatag	ccgaaattgc	caggatcagg	600
gttaaagata tctcacgtac	tgacggtggg	agaatgttaa	tccatattgg	cagaacgaaa	660
acgctggtta gcaccgcagg	tgtagagaag	gcacttagcc	tgggggtaac	taaactggtc	720
gagcgatgga tttccgtctc	tggtgtagct	gatgatccga	ataactacct	gttttgccgg	780
gtcagaaaaa atggtgttgc	cgcgccatct	gccaccagcc	agctatcaac	tcgcgccctg	840
gaagggattt ttgaagcaac	tcatcgattg	atttacggcg	ctaaggatga	ctctggtcag	900
agatacctgg cctggtctgg	acacagtgcc	cgtgtcggag	ccgcgcgaga	tatggcccgc	960
gctggagttt caataccgga	gatcatgcaa	gctggtggct	ggaccaatgt	aaatattgtc	1020
atgaactata tccgtaacct	ggatagtgaa	acaggggcaa	tggtgcgcct	gctggaagat	1080
ggcgattagg ctagcttaag	taacgccatt	ttgcaaggca	tggaaaaata	cataactgag	1140
aatagagaag ttcagatcaa	ggtcaggaac	agatggaaca	gctagagaac	catcagatgt	1200
ttccagggtg ccccaaggac	ctgaaatgac	cctgtgcctt	atttgaacta	accaatcagt	1260
tcgcttctcg cttctgttcg	cgcgcttctg	ctccccgagc	tcaataaaag	agcccacaac	1320
ccctcactcg gggcgccagt	cctccgattg	actgagtcgc	ccgggtaccc	gtgtatccaa	1380
taaaccctct tgcagttgca	tccgacttgt	ggtctcgctg	ttccttggga	gggtctcctc	1440
tgagtgattg actacccgtc	agcgggggtc	tttcatttgg	gggctcgtcc	gggatcggga	1500
gacccctgcc cagggaccac	cgacccacca	ccgggaggta	agctggccag	caacttatct	1560
gtgtctgtcc gattgtctag	tgtctatgac	tgattttatg	cgcctgcgtc	ggtactagtt	1620
agctaactag ctctgtatct	ggcggacccg	tggtggaact	gacgagttcg	gaacacccgg	1680
ccgcaaccct gggagacgtc	ccagggactt	cgggggccgt	ttttgtggcc	cgacctgagt	1740
ccaaaaatcc cgatcgtttt	ggactctttg	gtgcaccccc	cttagaggag	ggatatgtgg	1800
ttctggtagg agacgagaac	ctaaaacagt	tecegeetee	gtctgaattt	ttgctttcgg	1860
tttgggaccg aagccgcgcc	gcgcgtcttg	tctgctgcag	catcgttctg	tgttgtctct	1920
gtctgactgt gtttctgtat	ttgtctgaga	atatgggcca	gactgttacc	actcccttaa	1980
gtttgacctt aggtcactgg	aaagatgtcg	agcggatcgc	tcacaaccag	tcggtagatg	2040
tcaagaagag acgttgggtt	accttctgct	ctgcagaatg	gccaaccttt	aacgtcggat	2100
ggccgcgaga cggcaccttt	aaccgagacc	tcatcaccca	ggttaagatc	aaggtctttt	2160
cacctggccc gcatggacac	ccagaccagg	tcccctacat	cgtgacctgg	gaagccttgg	2220
cttttgaccc ccctccctgg	gtcaagccct	ttgtacaccc	taagcctccg	cctcctctc	2280
ctccatccgc cccgtctctc	ccccttgaac	ctcctcgttc	gaccccgcct	cgatcctccc	2340
tttatccagc cctcactcct	tctctaggcg	ccaaacctaa	acctcaagtt	ctttctgaca	2400
gtggggggcc gctcatcgac	ctacttacag	aagacccccc	gccttatagg	gacccaagac	2460

caccccttc cgacagggac	ggaaatggtg	gagaagcgac	ccctgcggga	gaggcaccgg	2520
accectecce aattgeatet	cgcctacgtg	ggagacggga	gccccctgtg	gccgactcca	2580
ctacctcgca ggcattcccc	ctccgcgcag	gaggaaacgg	acagcttcaa	tactggccgt	2640
tctcctcttc tgacctttac	aactggaaaa	ataataaccc	ttcttttct	gaagatccag	2700
gtaaactgac agctctgatc	gagtctgttc	tcatcaccca	tcagcccacc	tgggacgact	2760
gtcagcagct gttggggact	ctgctgaccg	gagaagaaaa	acaacgggtg	ctcttagagg	2820
ctagaaaggc ggtgcggggc	gatgatgggc	gccccactca	actgcccaat	gaagtcgatg	2880
ccgcttttcc cctcgaggga	tccatcgtag	tccaatttgt	taaagacagg	atatcagtgg	2940
tccaggctct agttttgact	caacaatatc	accagctgaa	gcctatagag	tacgagccat	3000
agataaaata aaagatttta	tttagtctcc	agaaaaaggg	gggaatgaaa	gaccccacct	3060
gtaggtttgg caagctagca	tgcccaagaa	gaagaggaag	gtgtccaatt	tactgaccgt	3120
acaccaaaat ttgcctgcat	taccggtcga	tgcaacgagt	gatgaggttc	gcaagaacct	3180
gatggacatg ttcagggatc	gccaggcgtt	ttctgagcat	acctggaaaa	tgcttctgtc	3240
cgtttgccgg tcgtgggcgg	catggtgcaa	gttgaataac	cggaaatggt	ttcccgcaga	3300
acctgaagat gttcgcgatt	atcttctata	tcttcaggcg	cgcggtctgg	cagtaaaaac	3360
tatccagcaa catttgggcc	agctaaacat	gcttcatcgt	cggtccgggc	tgccacgacc	3420
aagtgacagc aatgctgttt	cactggttat	gcggcggatc	cgaaaagaaa	acgttgatgc	3480
cggtgaacgt gcaaaacagg	ctctagcgtt	cgaacgcact	gatttcgacc	aggttcgttc	3540
actcatggaa aatagcgatc	gctgccagga	tatacgtaat	ctggcatttc	tggggattgc	3600
ttataacacc ctgttacgta	tagccgaaat	tgccaggatc	agggttaaag	atatctcacg	3660
tactgacggt gggagaatgt	taatccatat	tggcagaacg	aaaacgctgg	ttagcaccgc	3720
aggtgtagag aaggcactta	gcctgggggt	aactaaactg	gtcgagcgat	ggatttccgt	3780.
ctctggtgta gctgatgatc	cgaataacta	cctgttttgc	cgggtcagaa	aaaatggtgt	3840
tgccgcgcca tctgccacca	gccagctatc	aactcgcgcc	ctggaaggga	tttttgaagc	3900
aactcatcga ttgatttacg	gcgctaagga	tgactctggt	cagagatacc	tggcctggtc	3960
tggacacagt gcccgtgtcg	gagccgcgcg	agatatggcc	cgcgctggag	tttcaatacc	4020
ggagatcatg caagctggtg	gctggaccaa	tgtaaatatt	gtcatgaact	atatccgtaa	4080
cctggatagt gaaacagggg	caatggtgcg	cctgctggaa	gatggcgatt	aggctagctt	4140
aagtaacgcc attttgcaag	gcatggaaaa	atacataact	gagaatagag	aagttcagat	4200
caaggtcagg aacagatgga	acagctagag	aaccatcaga	tgtttccagg	gtgccccaag	4260
gacctgaaat gaccctgtgc	cttatttgaa	ctaaccaatc	agttcgcttc	tcgcttctgt	4320

	tcgcgcgctt	ctgctccccg	agctcaataa	aagagcccac	aacccctcac	tcggggcgcc	4380
	agtcctccga	ttgactgagt	cgcccgggta	cccgtgtatc	caataaaccc	tcttgcagtt	4440
	gcatccgact	tgtggtctcg	ctgttccttg	ggagggtctc	ctctgagtga	ttgactaccc	4500
	gtcagcgggg	gtctttcatt					4520
5	<210> 17 <211> 23 <212> ADN <213> Artificial						
	<220> <223> cebador						
10	<400> 17 ccaatcttgc ttctttgct	g agc 23					
15	<210> 18 <211> 22 <212> ADN <213> Artificial						
20	<220> <223> cebador						
	<400> 18 ggctcatgct tgaatgtt	tc ag 22					
25	<210> 19 <211> 23 <212> ADN <213> Artificial						
30	<220> <223> cebador						
35	<400> 19 ccaatcttgc ttctttgct	g agc 23					
33	<210> 20 <211> 20 <212> ADN						
40	<213> Artificial <220> <223> cebador						
45	<400> 20 atcatgcaag ctggtg	gctg 20					
50	<210> 21 <211> 21 <212> ADN <213> Artificial						
	<220> <223> cebador						
55	<400> 21 ctaccctgag aagacg	gaccc g 2	1				

5	<210> 22 <211> 30 <212> ADN <213> Artificial				
	<220> <223> cebador				
10	<400> 22 ggacaaatca aggttacaca gaaa	aaagtc	30		
15	<210> 23 <211> 21 <212> ADN <213> Artificial				
	<220> <223> cebador				
20	<400> 23 ctaccctgag aagacgaccc g	21			
25	<210> 24 <211> 20 <212> ADN <213> Artificial				
30	<220> <223> cebador				
55	<400> 24 cagcettgag cetetggage	20			

### REIVINDICACIONES

- 1. Un modelo animal de roedor que no expresa una o más sestrinas funcionales o que expresa niveles de traducción reducidos al menos el 50% de una o más sestrinas, y que no expresa proteína de unión al factor de crecimiento transformante β latente 4 (ltbp4) o que expresa niveles de traducción reducidos al menos el 50% de ltbp4.
- 5 2. El modelo animal de roedor de la reivindicación 1, en el que
  - (i) el genoma del roedor comprende una interrupción homocigota o heterocigota de un gen de sestrina, seleccionándose preferentemente el gen de sestrina interrumpido de sestrina 1, sestrina 2 y sestrina 3, y siendo más preferentemente sestrina 2; y/o
  - (ii) el genoma del roedor comprende una interrupción homocigota o heterocigota del gen de ltbp4.
- 3. El modelo animal de roedor de la reivindicación 2, en el que la interrupción se genera por una mutación, y preferentemente dicha mutación
  - (i) es una mutación por inserción, deleción o sustitución; y/o
  - (ii) se genera por direccionamiento génico, atrapamiento génico o mutagénesis química; y/o
  - (iii) se ha producido en un exón, intrón, región reguladora o sitio de corte y empalme de los genes de sestrina y ltbp4; y/o
  - (iv) da origen a la expresión de un gen indicador; y/o
  - (v) se ha producido en el 9º intrón del gen de sestrina 2; y/o
  - (vi) se ha producido en el 5º intrón del gen de ltpb4.
  - 4. El modelo de animal roedor de la reivindicación 2 ó 3, en el que
- 20 (i) el gen de sestrina 2 se interrumpe en el 9º intrón por inserción de un vector de trampa de genes, preferentemente pT1bgeo (SEC ID Nº: 10); y/o
  - (ii) el gen de ltbp4 se interrumpe en el 5º intrón por inserción de un vector de trampa de genes, preferentemente U3Cre (SEC ID Nº: 16).
  - 5. El modelo animal de roedor de una cualquiera de las reivindicaciones 1 a 4, en el que
- 25 (i) dicho roedor es un ratón o rata; y/o

15

40

45

- (ii) dicho roedor muestra enfisema pulmonar y cáncer, preferentemente el cáncer es un cáncer de colon.
- 6. Un modelo animal de roedor que no expresa una o más sestrinas funcionales o que expresa niveles de traducción reducidos al menos el 50% de una o más sestrinas, siendo preferentemente dicho modelo animal de roedor como se define en las reivindicaciones 1 a 5.
- 30 7. Un cultivo celular o tisular aislado de los modelos animales de roedor de las reivindicaciones 1 a 6, en el que los niveles de expresión en la célula o en las células del tejido, de las proteínas sestrina y ltbp4 son como se define en las reivindicaciones 1 a 6.
  - 8. El cultivo celular o tisular de la reivindicación 7, en el que el cultivo celular o tisular es de pulmón o colon.
- 9. Un procedimiento para preparar el modelo animal de roedor de las reivindicaciones 1 a 6, que comprende interrumpir el gen de sestrina y/o ltbp4 en una célula germinal de un roedor de partida.
  - 10. El procedimiento de la reivindicación 9, en el que la célula germinal es una célula ES.
  - 11. Un procedimiento para seleccionar un agente para tratar un síntoma que aparece en el modelo animal de roedor de la reivindicación 1, que comprende:
    - (i) aplicar uno o más agentes a ensayar a dicho modelo animal de roedor,
    - (ii) determinar si uno o más síntomas que aparecen en dicho modelo animal de roedor han cambiado como resultado de la aplicación de dicho agente o agentes.
  - 12. El procedimiento de la reivindicación 11, en el que el síntoma se selecciona de un grupo que consiste en cáncer y enfisema pulmonar.
  - 13. Un procedimiento de selección de un agente que interfiere con la producción de ROS y la señalización de TGFβ, que comprende:
    - (i) aplicar uno o más agentes a ensayar al cultivo celular o tisular de la reivindicación 7,
    - (ii) determinar si los niveles de ROS celulares y la señalización de TGF-β han cambiado como resultado de la aplicación de dicho agente o agentes.
    - 14. El procedimiento de la reivindicación 13, en el que el cultivo celular o tisular es de pulmón o colon.

- 15. Un procedimiento para analizar si el cáncer y/o enfisema pulmonar está causado por una expresión proteica o génica de Itbp4 y sestrina o un nivel de expresión diferencial o por un defecto en el gen de Itbp4 y sestrina, que comprende:
  - (i) caracterizar la expresión proteica o génica de ltbp4 y sestrina o el nivel de expresión o el estado alélico del gen de ltbp4 y sestrina de un individuo que tiene cáncer o enfisema pulmonar,
  - (ii) caracterizar la expresión proteica o génica de Itbp4 y sestrina o el nivel de expresión o el estado alélico del gen de Itbp4 y sestrina de un individuo de control, indicando una diferencia en la expresión proteica o génica de Itbp4 y sestrina o el nivel de expresión o el estado alélico del gen de Itbp4 y sestrina que el cáncer y/o el enfisema pulmonar y/o la cardiomiopatía está relacionada con una expresión proteica o génica de Itbp4 y sestrina o un nivel de expresión diferencial o por un defecto en los genes de Itbp4 y sestrina.
- 16. El procedimiento de la reivindicación 15, en el que

5

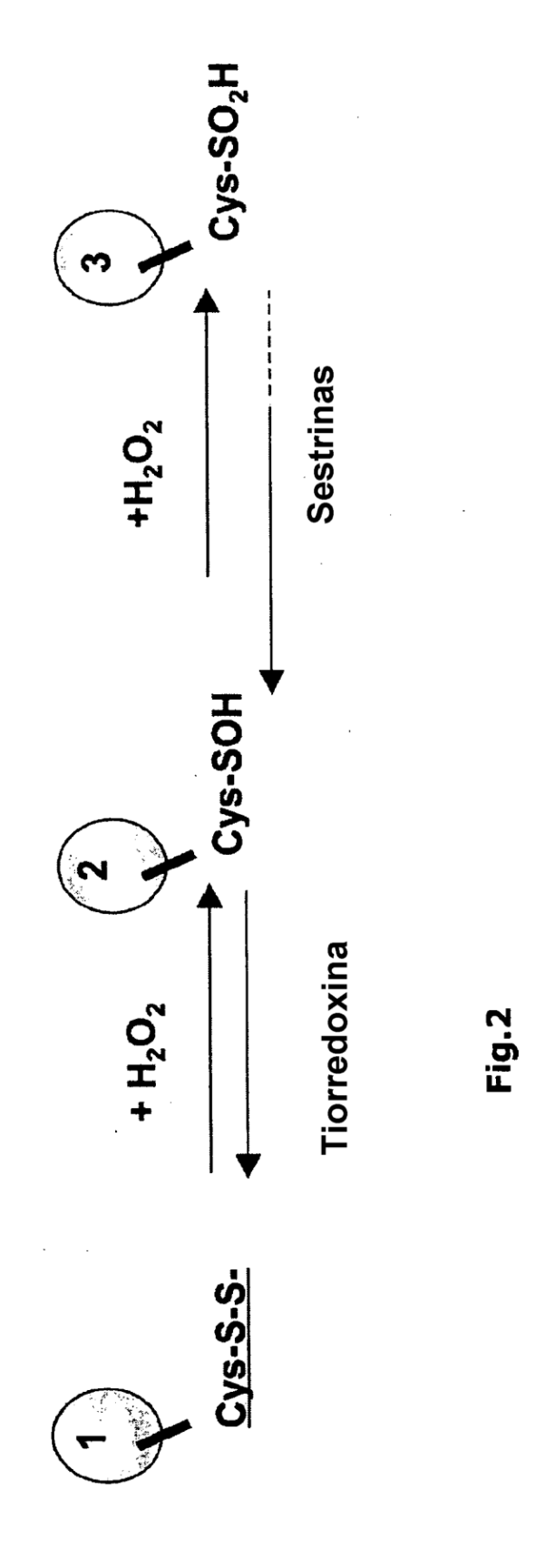
10

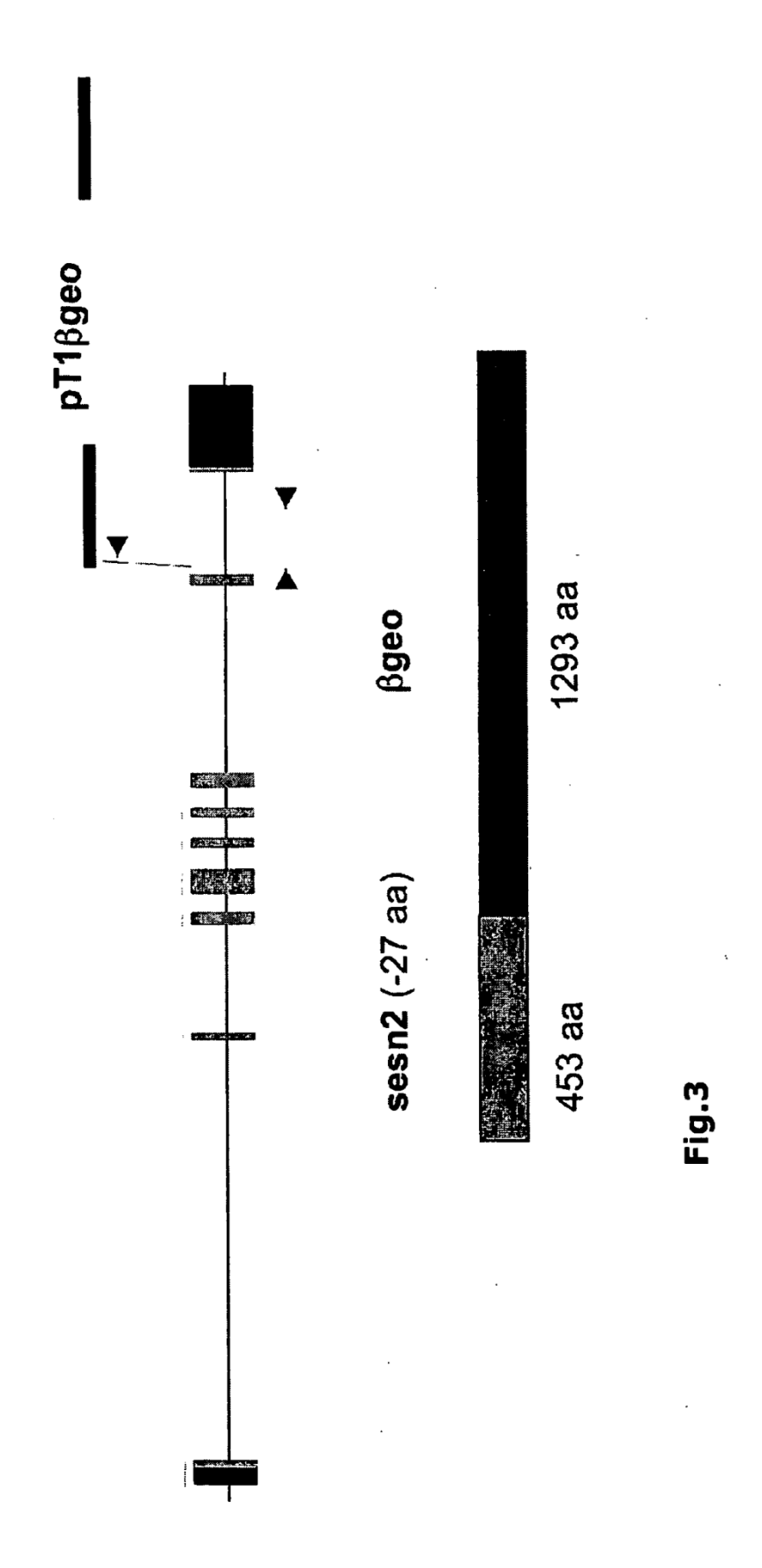
15

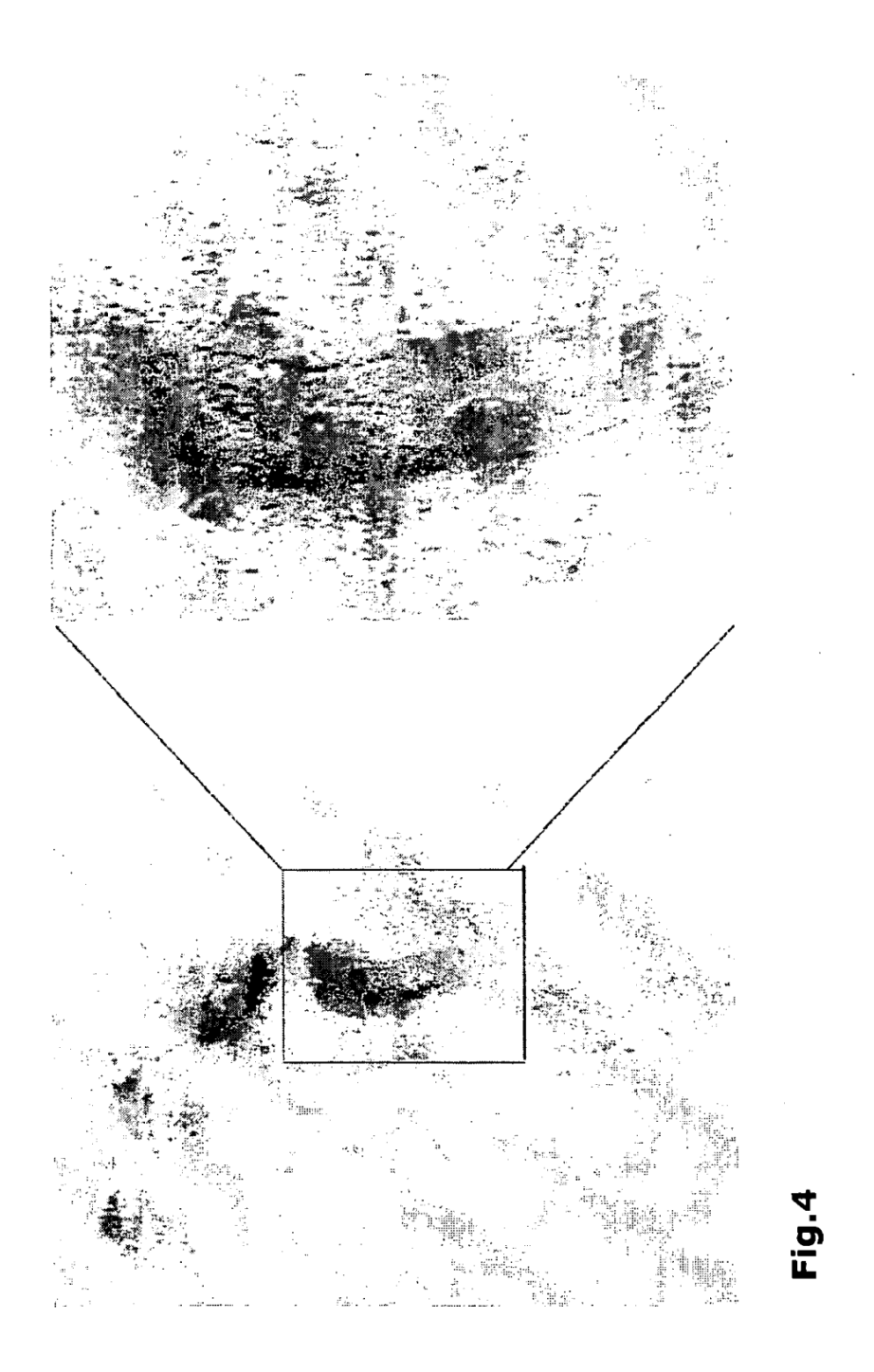
- (i) la expresión de ltbp4 y sestrina o el nivel de expresión se detecta por RT-PCR, análisis de Northern, análisis de micromatrices o anticuerpos dirigidos contra las proteínas ltbp4 y sestrina; y/o
- (ii) la expresión génica de ltbp4 y sestrina o el nivel de expresión se detecta por RT-PCR, análisis de Northern, análisis de micromatrices o anticuerpos dirigidos contra las proteínas ltbp4 y sestrina; y/o
- (iii) el estado alélico del gen de ltbp4 y sestrina se detecta por exploración de mutaciones.

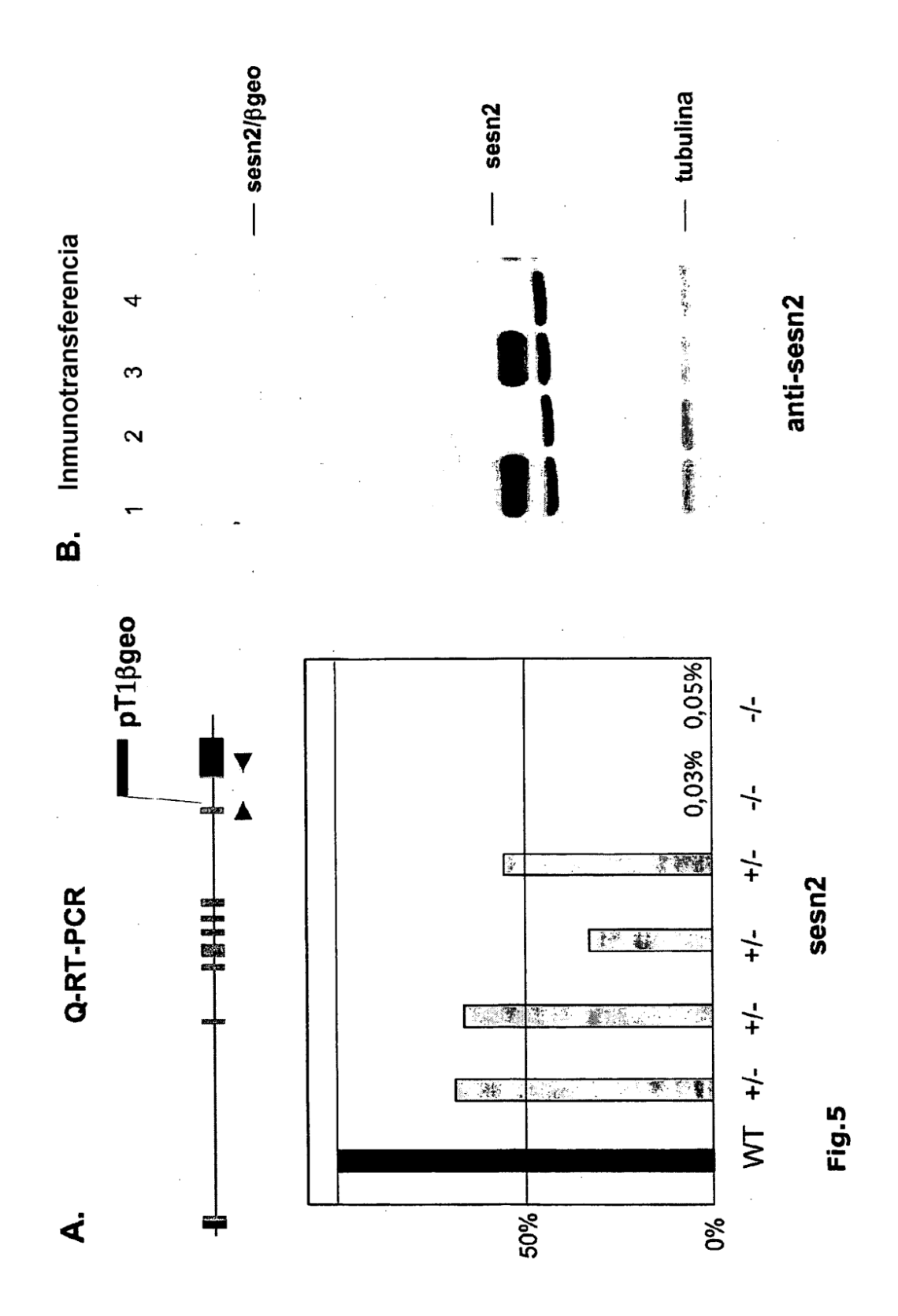
sestrina 1	MRLAAASNEAYAASLAVSELLSCHQCGGD-RGQDEELGIRIPRPLGHGPS 49	
sestrina 2	MNRGGSSASASANYLLCTNCRKV-LRKDKRIRVSQPLTRGPS 41	
sestrina 3	MIVADSECHSEIKGYLPFTRGGVAGPETREEHREGQARRGSRGPS 45	
sestima 3	* . : . : * , : : : : : : : : : : : : : : : : :	
	*	
	RETPEKEMLOVGSEDAOMHALFADSFAALGRIDNITLVMVFHPOYLESFL 99	
sestrina 1	16 11 11 11 11 11 11 11 11 11 11 11 11 1	
sestrina 2	AFIPEKEVVQANTADERTN-FLVEEYSTSGRLDNITQVMSLHTQYLESFL 90	
sestrina 3	AFIPVEEILREGAESLEQH-LGLEALMSSGRVDNLAVVMGLHPDYLSSFW 94	
	*** :*::: .: . : : : : **:**:: ** :*.:**.**	
sestrina 1	KTQHYLLQMDGPLPLHYRHYIGIMAAARHQCSYLVNLHVSDFLHVGGDPK 149	•
sestrina 2	RSQFYMLRMDGPLPLPDRHYIAIMAAARHQCSYLINMHVDEFLKTGGIAE 140	)
sestrina 3	RLHYLLLHTDGPLASSWRHYIAIMAAARHQCSYLVGSHMTEFLQTGGDPE 144	į
sestina v	: : : *: ****	
sestrina 1	WLNGLENAPQKLQNLGELNKVLAHRPWLITKEHIEGLLKAEEHSWSLAEL 199	•
sestrina 2	WINGLEYVPORLRNINEINKLIAHRPWLITKEHIQKIVKTGENNWSIPEL 190	
sestrina 2 sestrina 3	WLIGLHRAPEKLRKLSEVNKLLAHRPWLITKEHIQALIKTGEHSWSLAEL 194	-
sestrina 3	** ***::*:*.*:************* *:*: *:.***.**	ż
	** ***::*:*,*;**:*************	
sestrina 1	VHAVVLLTHYHSLASFTFGCGISPEIHCDGGHTFRPPSVSNYCICDITNG 249	
sestrina 2	VHAVVLLAHYHALASFVFGSGINPERDPGIANGFRLISVSSFCVCDLAN- 239	
sestrina 3	IQALVLLTHCHSLASFVFGCGILPEGDAEGSPASQAPSPPSEQ 237	7
	::*:***:*	
sestrina 1	NHSVDEMQVNSAGNASVSDSFFEVEALMEKMRQLQECREEEE-ASQEEMA 298	3
sestrina 2	DNSIENTSLAGS-NFGIVDSLGELEALMERMKRLQEDREDDE-TTREEMT 287	
sestrina 3	GTPPSGDPLNNSGGFEAARDVEALMERMRQLQESLLRDEGASQEEME 284	
Sesciina o		•
sestrina l	SRFEMEKRESMFVFSSDDDEVTPARDVSRHFEDTSYGYKD 338	2
sestrina 1 sestrina 2		
	TRFEKEKKESLFVVPGETLHAFPHSDFEDDVIVTADVSRYIEDPSFGYED 33	
sestrina 3	NRFELEKSESLLVTPSADILEPSPHPDILCFVEDPAFGYED 325	)
	.*** ** **::* : *:**.::**:*	
	1	_
sestrina l	FSRHG-MHVPTFRVQDYCWEDHGYSLVNRLYPDVGQLIDEKFHIPYNLTY 38	7
sestrina 2	FARRGEEHLPTFRAQDYTWENHGFSLVNRLYSDIGHLLDEKFRMVYNLTY 38	7
sestrina 3	FTRRGTQAPPTFRAQDYTWEDHGYSLIQRLYPEGGQLLDEKFQVACSLTY 375	5
	*:*:*	
sestrina 1	NTMAMHKDVDTSMLRRAIWNYIHCMFGIRYDDYDYGEINQLLDRSFKVYI 43	7
sestrina 2	NTMATHEDVDTTTLRRALFNYVHCMFGIRYDDYDYGEVNQLLERSLKVYI 43	7
sestrina 3	NTIAMHSGVDTSMLRRAIWNYIHCVFGIRYDDYDYGEVNQLLERNLKIYI 425	
SCSCIIII V	**:* * * * * * * * * * * * * * * * *	
	KTVVCTPEKVTKRMYDSFWRQFKHSEKVHVNLLLIEARMQAELLYALRAI 48	7
sestrina 1	KTVTCYPERTTKRMYDSYWRQFTHSEKVHVNLLLMEARMQAELLYALRAI 48°	
sestrina 2	KTVACYPEKTTRRMYNLFWRHFRHSEKVHVNLLLLEARMOAALLYALRAI 47	
sestrina 3		ر
	*** * **: * * * * * * * * * * * * * * *	
sestrina l	TRYMT 492	
sestrina 2	TRHLT 492	
sestrina 3	TRYMT 480	
	**::*	

# Fig.1









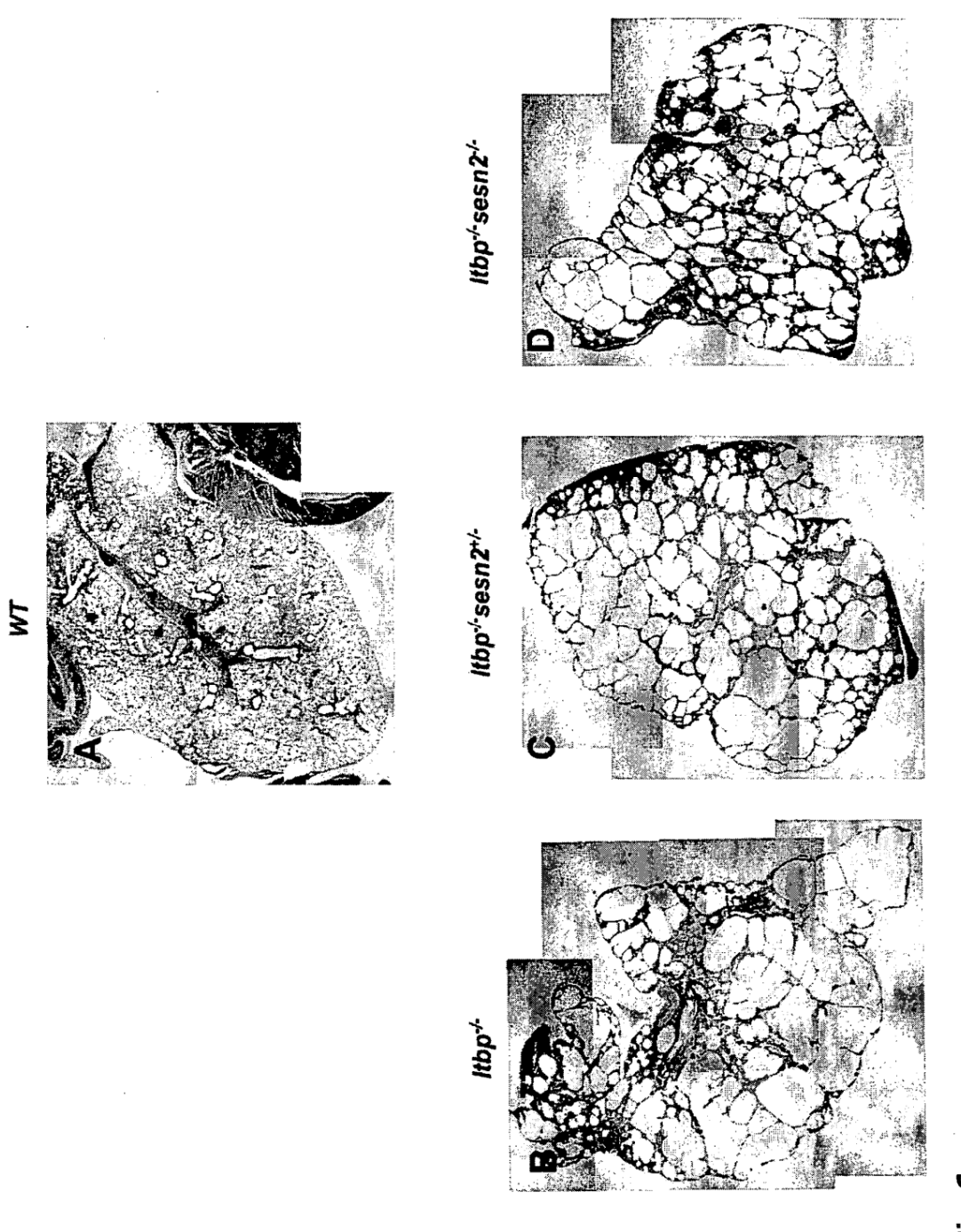
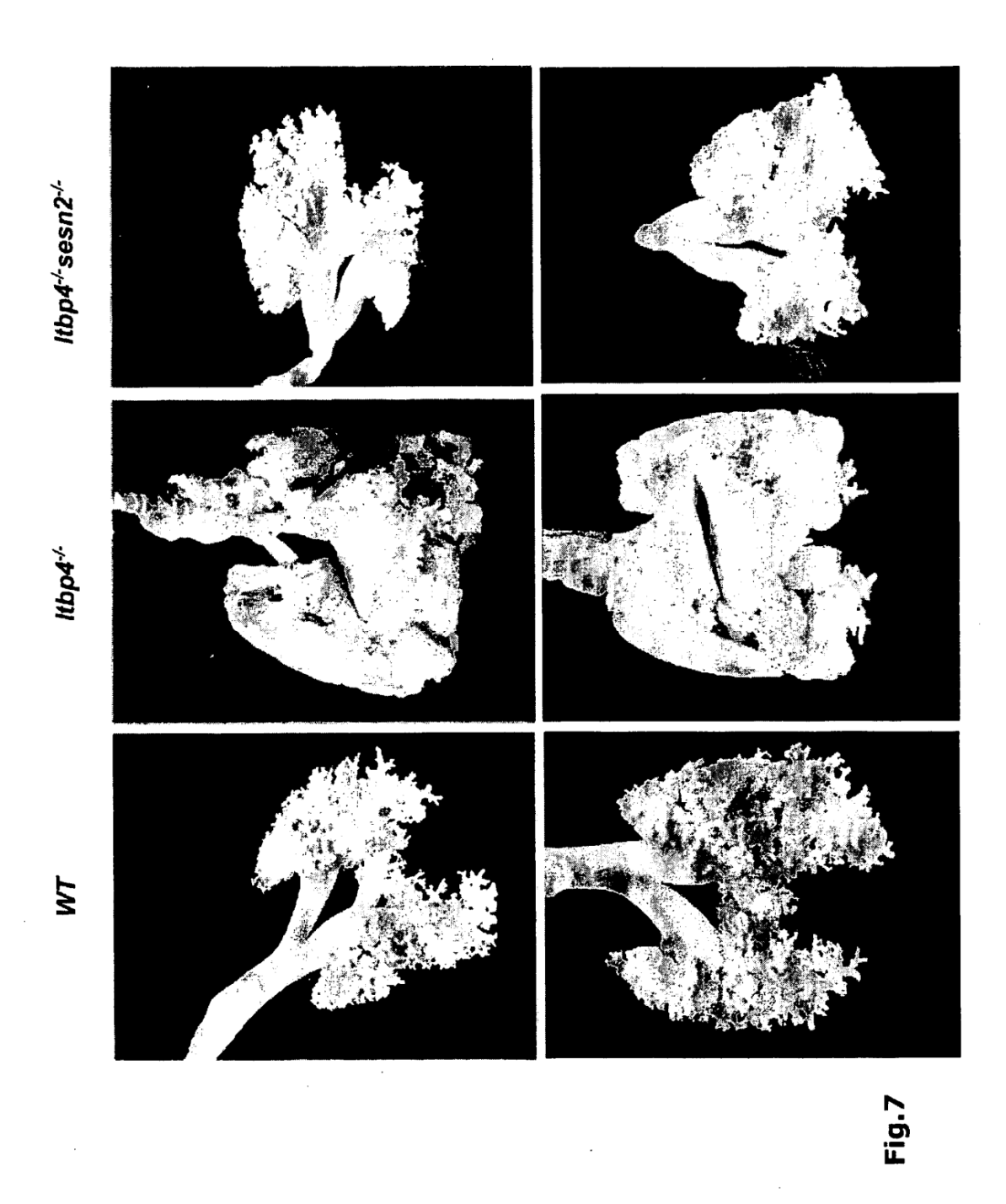
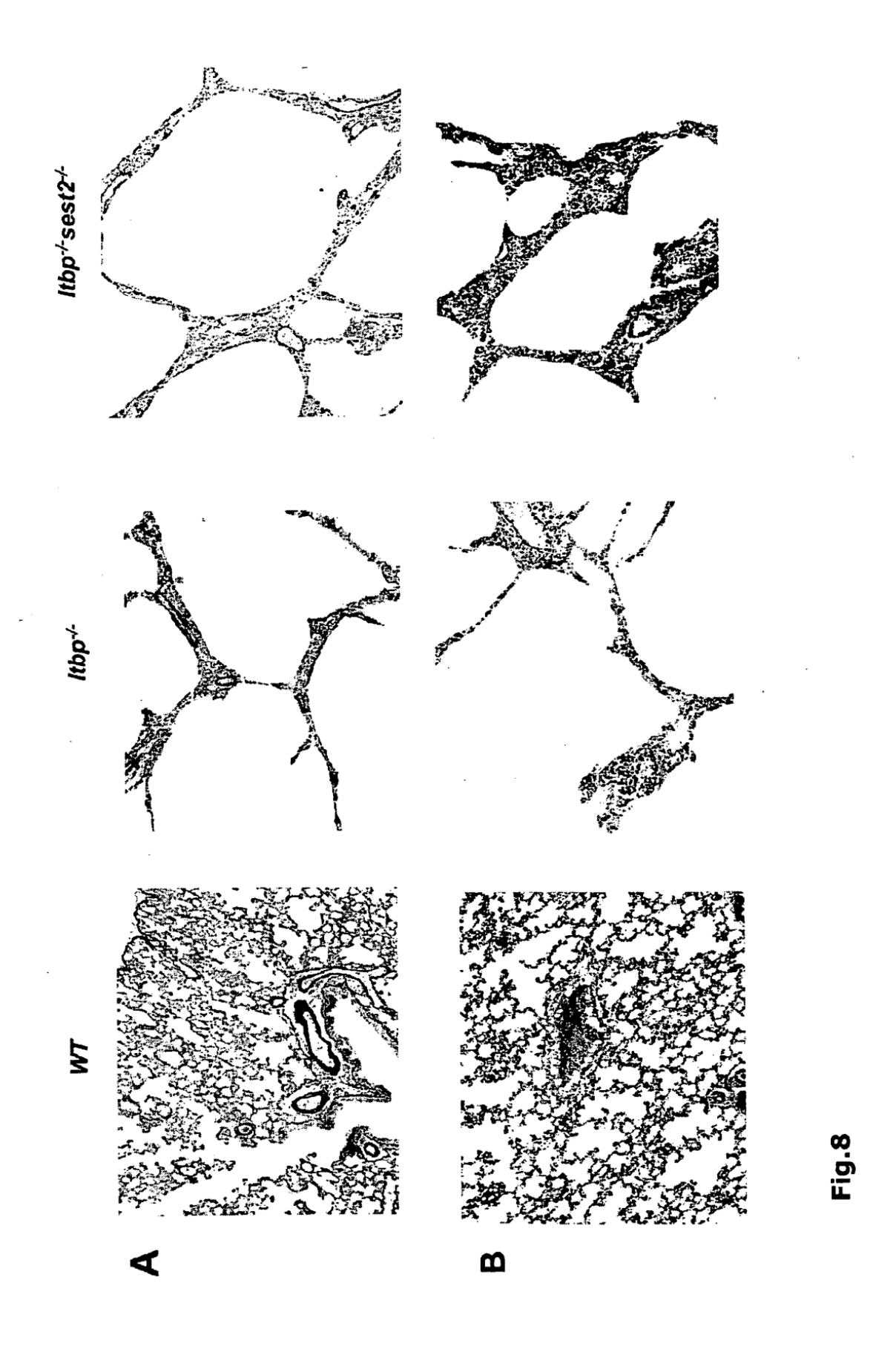
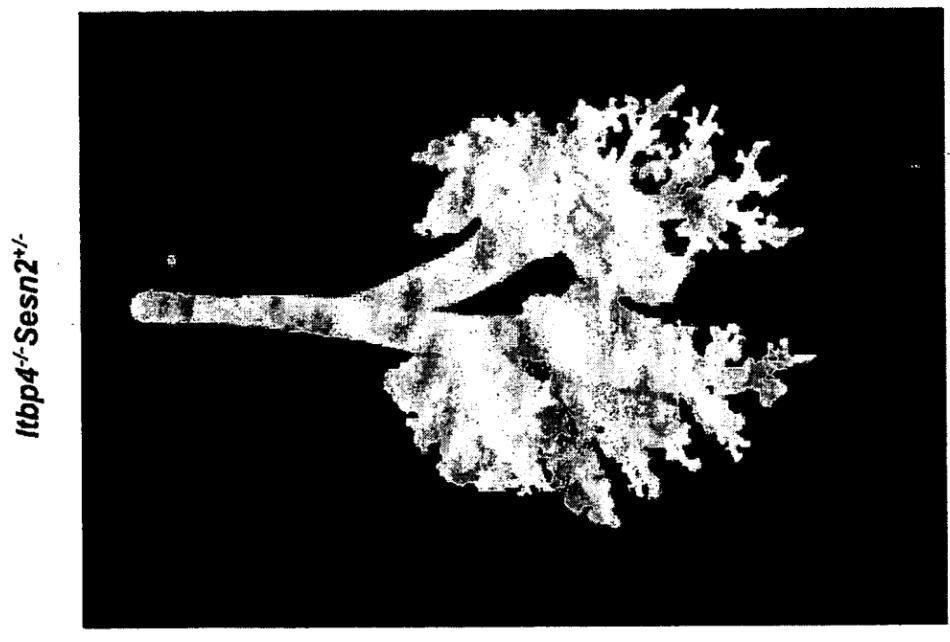
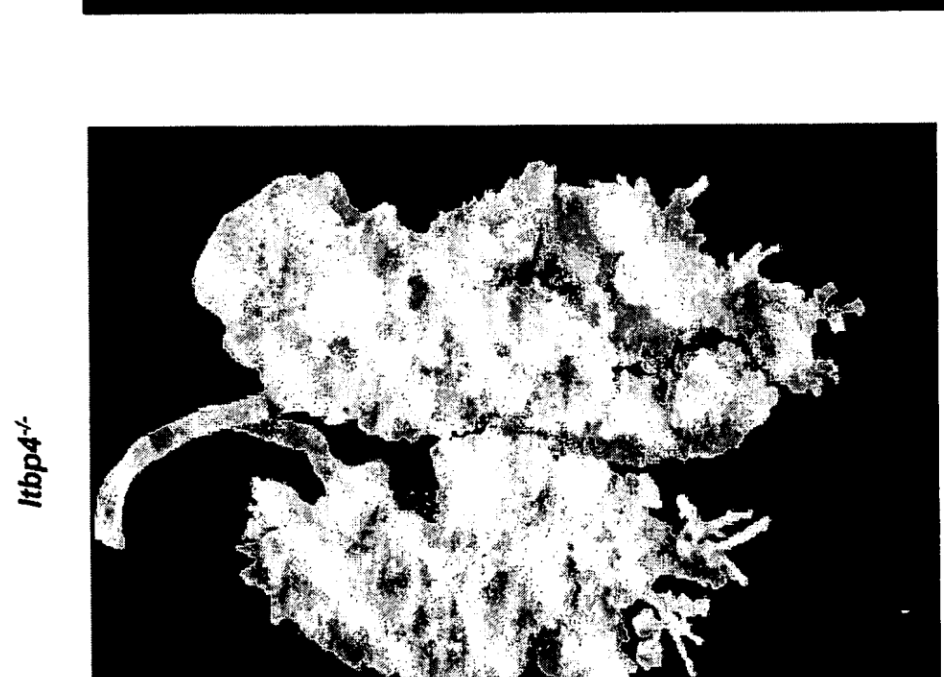


Fig.6









. g

Fig. 1(

Itbp4-'-sesn\*/+

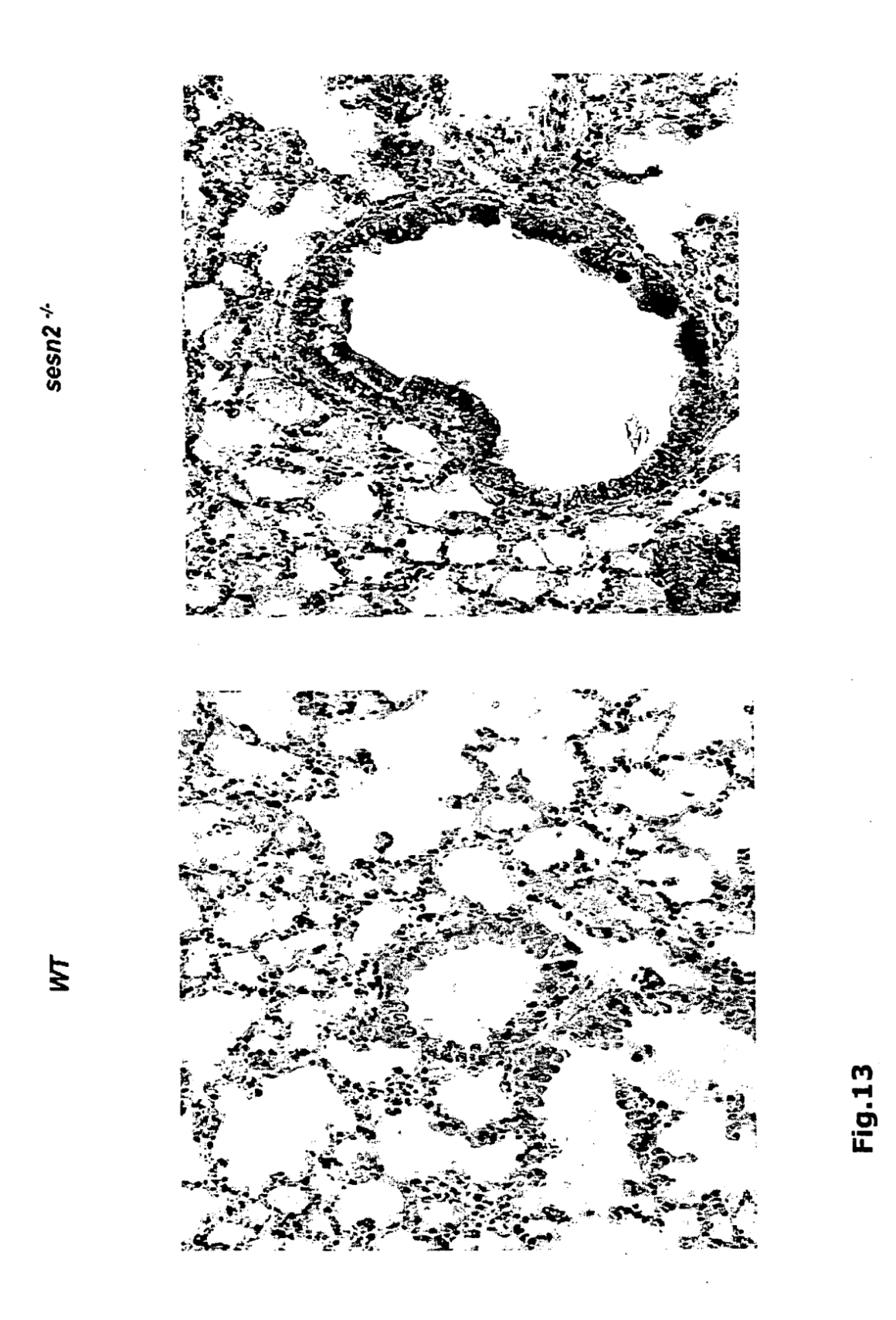
Itbp4"-sesn"

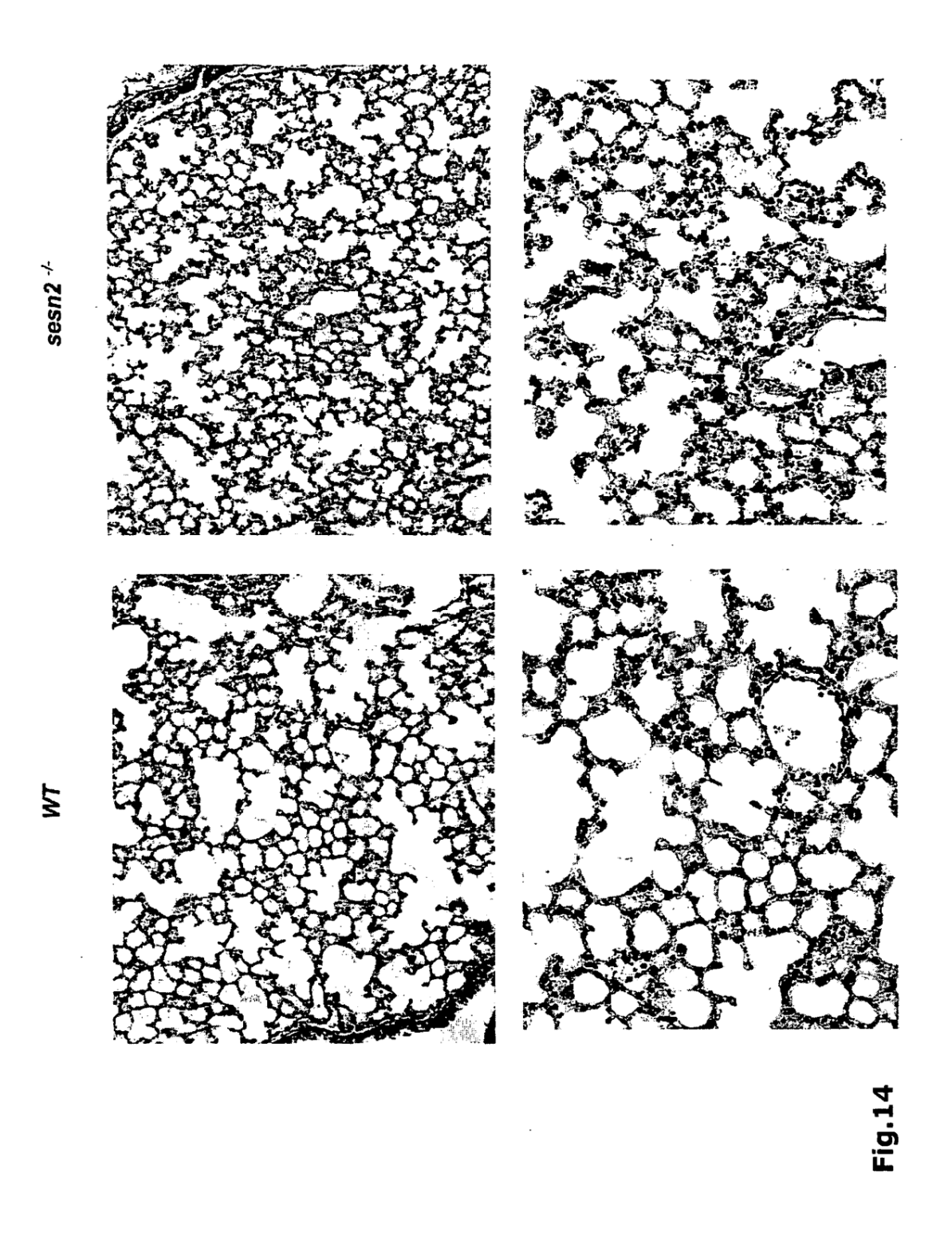


ig.11



Fig.12





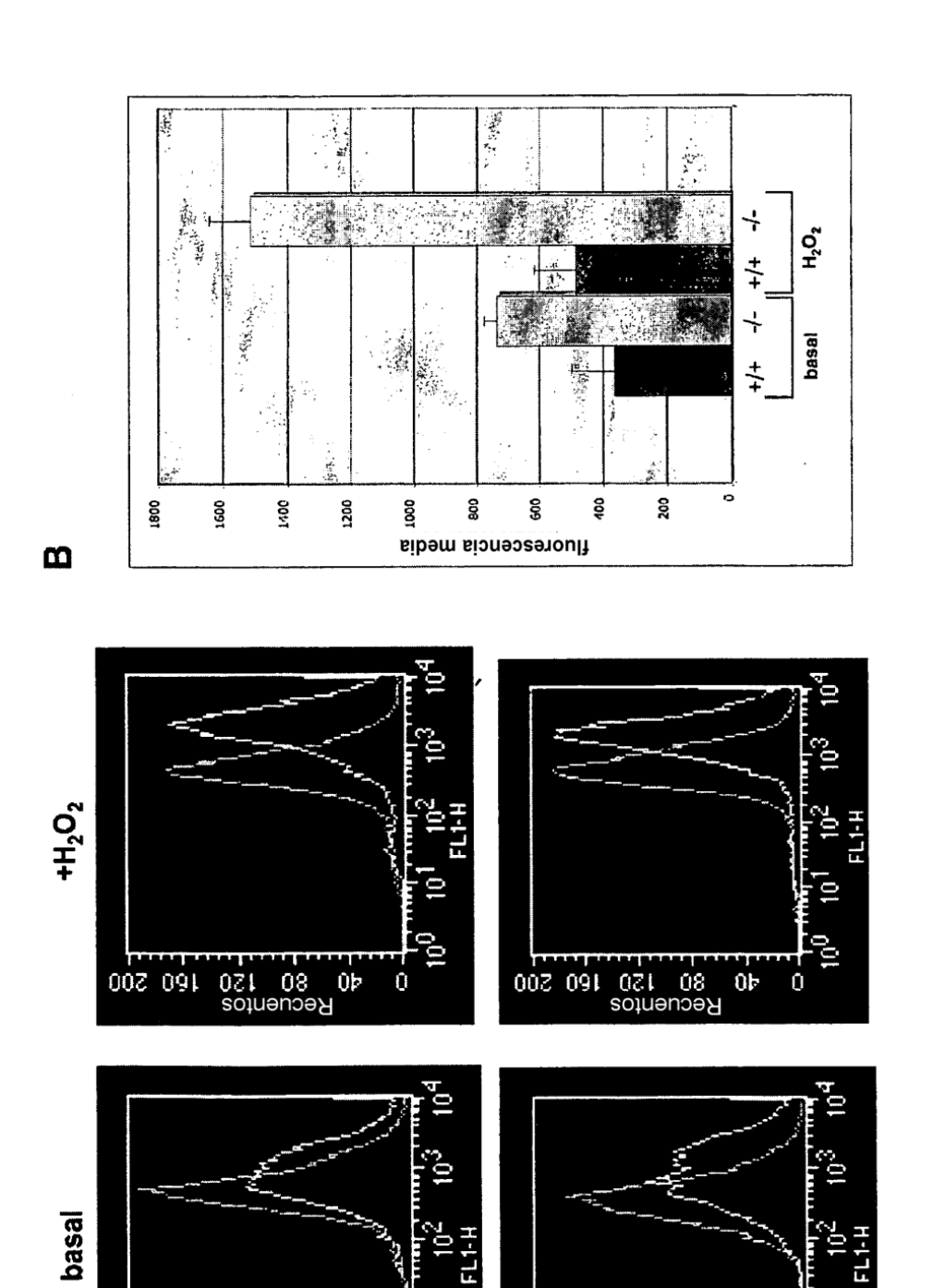


Fig. 15

80 120 160 200

40

80 150 160 200 Becneutos

40

0